



Effect of Drought Stress on Growth, Biochemical and Essential Oil Characteristics of some *Ziziphora clinopodioides* Lam. Ecotypes

Meysa Raoof¹, Vahideh Nazeri², Leila Tabrizi Raeini³, Majid Shokrpour⁴

1. Department of Horticultural Science and Landscape Architecture, Faculty of Agriculture, College of Agriculture and Natural Resources, University of Tehran, Karaj. Iran. E-mail: meysaraeof@gmail.com
2. Corresponding Author, Department of Horticultural Science and Landscape Architecture, Faculty of Agriculture, College of Agriculture and Natural Resources, University of Tehran, Karaj. Iran. . E-mail: nazeri@ut.ac.ir
3. Department of Horticultural Science and Landscape Architecture, Faculty of Agriculture, College of Agriculture and Natural Resources, University of Tehran, Karaj. Iran. E-mail: L.tabrizi@ut.ac.ir
4. Department of Horticultural Science and Landscape Architecture, Faculty of Agriculture, College of Agriculture and Natural Resources, University of Tehran, Karaj. Iran. E-mail: shokrpour@ut.ac.ir

Article Info

ABSTRACT

Article type:

Research Article

Article history:

Received: 6 October 2024

Received in revised form: 30 December 2024

Accepted: 5 January 2025

Published online: Spring 2025

Keywords:

Ecotype,

Essential oil,

GC-Mass,

Medicinal plants,

Pulegone.

Climate changes and long periods of drought have led many research approaches to focus on drought tolerance plants. Kakootie-koohi (*Ziziphora clinopodioides* Lam, Family Lamiaceae) is known as an important medicinal plant in herbal medicine and treatment of respiratory diseases. Besides having vast geographical distribution in Iran, it has conspicuous morphological and phytochemical diversities. To investigate the effect of water stress upon growth and phytochemical traits of Kakootie-koohi, a field experiment was performed as a split plot in a randomized complete block design with three replications. Different levels of irrigation were assigned to first factor including irrigation at 90-100% available water, stop irrigation at vegetative stage (two months after planting in the field) and stop irrigation at the beginning of flowering stage, and different ecotypes were assigned to second factor named as Galoogah, Taleghan, Kaboodarahang, Shazand and Velian. At the 50% flowering stage, the plants were harvested for desired traits measurements. Essential oils from treated plants were extracted by Clevenger apparatus and the essential oil components were analyzed using gas chromatography (GC) and GC-Mass. Stop irrigation at both vegetative and flowering stages decreased leaf dry weight, but leaf area was decreased only by stop irrigation at vegetative stage. The amount of chlorophyll a, chlorophyll b, total chlorophyll, carotenoids, ion leakage and relative water content were not affected by water shortage but the amount of total phenol was increased by water shortage at vegetative stage. Water stress at both stages significantly increased the percentage of essential oil. The maximum amount of essential oil yield obtained in Galoogah, Taleghan and Velian ecotypes. The most dominant essential oil component was pulegone and its maximum amount (39.9%) was observed in plants of Taleghan ecotype under drought stress at vegetative stages. Considering that many studied traits were not affected negatively by water shortage, while phenol content and essential oil percentage increased. it is possible to achieve the highest amount of essential oil and pulegone in area exposed to water shortage by stopping irrigation at either vegetative or flowering stage in Taleghan and Galoogah ecotypes.

Cite this article: Raoof, M., Nazeri, V., Tabrizi Raeini, L. & Shokrpour, M. (2025). Effect of Drought Stress on Growth, Biochemical and Essential Oil Characteristics of some *Ziziphora clinopodioides* Lam. Ecotypes. *Iranian Journal of Horticultural Science*, 56 (1), 19-41. DOI: <https://doi.org/10.22059/ijhs.2025.383255.2217>



© The Author(s).
DOI: <https://doi.org/10.22059/ijhs.2025.383255.2217>

Publisher: The University of Tehran Press.

Extended Abstract

Introduction

Ziziphora clinopodioides known as Kakootie-koohi is one of the important medicinal plants in treatment of cardiac disorders, high blood pressure, and respiratory disease in traditional medicine of Iran. It has a wide distribution throughout Iran particularly in mountainous area, rocky slopes and deposits of steppe regions of Hyrcanian and Irano-Touranian regions. Kakootie-koohi shows obvious morph-physiological variation in different natural habitats. The most abundant components of its essential oil are pulegone, isomentol, cineole and piperiton. Drought stress has adverse effects on plants growth and development and consequently upon the amounts of yields and quality of agricultural crops. In water shortage condition, leaf wilting take place following reduction in leaf water content, increasing evaporation and decreasing water absorption by root system. Disruption in the electron transport chain produces reactive oxygen species, leading to oxidative damage in proteins, nucleic acids, and membrane lipids. This ultimately causes instability in cell membranes. Meanwhile, by reduction in synthesis of ribulose biphosphate and rubisco activity, photosynthetic capacity is decreased and plants growth and development are limited. This study evaluates the impact of water stress and ecotypes on morpho-physiological traits. The enhanced production of essential oil yield during water stress also will be discussed.

Material and Methods

Seeds of five different ecotypes of Kakootie-koohi collected from their natural habitats were sown in trays containing cocopite and perlit (75:25) and kept in the greenhouse. After acclimation of seedlings having 5-6 leaves to outdoor environment, they were transferred to the field. The field was located in the research center of horticultural department of the University of Tehran in Karj, Iran. Plots were drop irrigated to 90-100% plant water availability until complete establishment of plants, and then irrigation was withheld from selected plots at two developmental stages of vegetative and flowering stage. The experiment was performed as a split plot in a randomized complete block design with three replications. Different levels of irrigation were assigned to first factor including irrigation at 90-100% available water, stop irrigation at vegetative stage (two months after planting in the field) and stop irrigation at the beginning of flowering stage, and different ecotypes assigned to second factor named as Galoogah, Taleghan, Kaboodarahang, Shazand and Velian. At the 50% flowering stage, the plants were harvested and the responses of plants subjected to water stress was evaluated by measuring growth and phytochemical traits. The constituents of essential oils were also detected and measured by GC/ GC- Mass apparatus.

Results and discussion

Water stress affected a few morphological and biochemical traits, showing potential of *Ziziphora clinopodioides* to resist to drought stress. Stop irrigation at both vegetative and flowering stages decreased leaf dry weight. Leaf area was declined when irrigation was stopped at vegetative stage. The amount of chlorophyll a, chlorophyll b, total chlorophyll, carotenoids, ion leakage and relative water content were not affected by water shortage but the amount of total phenol increased under this condition. Water stress at both stages significantly increased the percentage of essential oil.

Comparing ecotypes showed that the shortest plants belonged to Galoogah ecotype and no significant difference was observed among other ecotypes. Kaboodarahang, Shazand and Velian showed the highest values for leaf length, while Galoogah had the lowest value. The largest leaves were observed in Velian, Taleghan and Shazand ecotypes. Interaction effect of ecotype and water stress on plant dry weight was significant. While, the highest amount of plant dry weight was obtained in ecotypes of Kabodarahang, followed by Galoogah, both at normal condition, no significant difference was observed in plant dry weight under water stress conditions.

It has been shown that decrease in leaf area in plants subjected to water stress may occur as a result of decline in turgor pressure, inhibition of cell division and cell enlargement. Additionally, plant dry weight usually reduces because of stomatal closure which limits CO₂ uptake and hence photosynthetic activity.

Phenolic compounds were also increased in plants under the water deficit condition. These compounds have fundamental role in plants resistance to water stress by regulating physiological activities. In the current research, the amount of electrolyte leakage in plants subjected to water stress did not show significant difference with untreated plants, indicating the high resistance of the cell membrane of Kakootie-koohi against the water stress. Inducing water stress at both vegetative and flowering stages caused a significant increase in percentage of essential oil. The GC-MS analysis of essential oil identified 23 compounds with pulegone as a major component. The highest amount of pulegone, 39.9%, obtained in plants of Taleghan ecotype exposed to drought stress at vegetative stages. Ecotype Kabodarahang was the only ecotype with high percentage of 1,8-cineol, a cyclic monoterpenic compound that is renowned for its antioxidant properties.

Conclusion

Considering that many studied traits were not affected negatively by water shortage, while phenol content and essential oil percentage were increased, it is possible to achieve the highest amount of essential oil and pulegone in area exposed to water shortage by stopping irrigation either at vegetative or flowering stage in Taleghan and Galoogah ecotypes.

Author Contributions

V. Nazeri, M. Shokrpour and L. Tabrizi conceived and planned the experiments. M. Raoof carried out the experiments. M. Shokrpour and M. Raoof analyzed data. M. Raoof and V. Nazeri wrote the first manuscript. V. Nazeri, M. Shokrpour and L. Tabrizi contributed to the interpretation of the results. All authors provided critical feedback and helped shape the research, analysis and manuscript.

Data Availability Statement

Data available on request from the authors.

Acknowledgements

The authors would like to thank the research council of the University of Tehran, Iran for the financial support of this research.

Ethical considerations

The authors avoided data fabrication, falsification, plagiarism, and misconduct.

Conflict of interest

The author declares no conflict of interest.



تأثیر تنفس خشکی بر ویژگی‌های رشدی، بیوشیمیایی و انسانس برخی اکوتیپ‌های کاکوتی‌کوهی

(*Ziziphora clinopodioides* Lam.)

میسae رئوف^۱ | وحیده ناظری^۲ | لیلا تبریزی رائینی^۳ | مجید شکرپور^۴

۱. گروه مهندسی علوم باغبانی و فضای سبز، دانشکده کشاورزی، دانشگاه کشاورزی و منابع طبیعی، دانشگاه تهران، کرج، ایران. رایانامه:

meysaraooof@gmail.com

۲. نویسنده مسئول، گروه مهندسی علوم باغبانی و فضای سبز، دانشکده کشاورزی، دانشگاه کشاورزی و منابع طبیعی، دانشگاه تهران، کرج، ایران. رایانامه:

nazeri@ut.ac.ir

۳. گروه مهندسی علوم باغبانی و فضای سبز، دانشکده کشاورزی، دانشگاه کشاورزی و منابع طبیعی، دانشگاه تهران، کرج، ایران. رایانامه:

L.tabrizi@ut.ac.ir

۴. گروه مهندسی علوم باغبانی و فضای سبز، دانشکده کشاورزی، دانشگاه کشاورزی و منابع طبیعی، دانشگاه تهران، کرج، ایران. رایانامه:

shokrpour@ut.ac.ir

چکیده

اطلاعات مقاله

تغییر اقلیم و دوره‌های طولانی خشکی سبب شده است تا رویکرد بسیاری از تحقیقات بر گیاهان مقاوم به تنفس

خشکی متمرکز شود. کاکوتی‌کوهی (*Ziziphora clinopodioides* Lam.) یکی از گیاهان دارویی مهم در

طب گیاهی و درمان بیماری‌های تنفسی است که علاوه بر پراکندگی جغرافیایی وسیع در ایران، دارای تنوع

چشمگیر مورفولوژیک و فیتوشیمیایی می‌باشد. به منظور بررسی تأثیر تنفس خشکی بر خصوصیات رشدی و

بیوشیمیایی کاکوتی‌کوهی، آزمایشی به صورت کرته‌های خردشده در قالب طرح بلوک‌های کامل تصادفی با سه

تکرار اجرا گردید. سطوح مختلف آبیاری به عنوان عامل اصلی شامل آبیاری در سطح ۹۰-۱۰۰ درصد آب قابل

دسترسی ریشه گیاه (آبیاری نرمال)، قطع آبیاری در مرحله رویشی (دو ماه بعد از انتقال به زمین اصلی) و قطع

آبیاری در مرحله شروع غنچه‌دهی، و نوع اکوتیپ به عنوان عامل فرعی در نظر گرفته شد. برداشت گیاهان در

مرحله ۵۰ درصد گل‌دهی انجام گرفت. همچنین، انسانس گیاهان با استفاده از دستگاه کلونجر استخراج و نوع

و مقدار اجزای آن با استفاده از دستگاه GC و GC-MS تعیین و اندازه‌گیری شد. قطع آبیاری در هر دو مرحله

تش سبب کاهش وزن خشک برگ گردید. اما سطح برگ تنها با تنش مرحله رویشی کاهش یافت. مقدار

رنگیزه‌های فتوستتری، نشت یونی و محتوای نسی آب برگ تحت تأثیر تنش قرار نگرفت، در حالی که محتوای

فلن کل با اعمال تنش در مرحله رویشی افزایش یافت. همچنین، درصد انسانس در هر دو مرحله اعمال تنش

افزایش داشت. بیشترین درصد انسانس در اکوتیپ‌های طالقان، گلوگاه و ولیان مشاهده شد. ترکیب غالب انسانس

در اکثر تیمارها پولگون بود. و بیشترین میزان آن (۳۹/۹ درصد) در گیاهان اکوتیپ طالقان که در مرحله رویشی

تحت تنش خشکی بودند مشاهده شد. با در نظر گرفتن این نکته که بسیاری از شاخص‌های مورد بررسی تحت

تأثیر اثر منفی تنش قرار نگرفتند اما مقدار فلن کل و درصد انسانس افزایش داشتند، بنابراین در مناطقی که با

کمبود آب مواجه هستند با اعمال قطع آبیاری در هر یک از مراحل رویشی یا زایشی اکوتیپ‌های گلوگاه و

طالقان می‌توان به بالاترین مقادیر انسانس و ترکیب پولگون دست یافت.

کلیدواژه‌ها:

اسانس، اکوتیپ، پولگون، گیاه
دارویی، GC-MS.

استناد: رئوف، میسae؛ ناظری، وحیده؛ تبریزی رائینی، لیلا و شکرپور، مجید (۱۴۰۴). تأثیر تنفس خشکی بر ویژگی‌های رشدی، بیوشیمیایی و انسانس برخی اکوتیپ‌های کاکوتی‌کوهی

DOI: <https://doi.org/10.22059/ijhs.2025.383255.2217> (نشریه علوم باغبانی ایران، ۵۶ (۱)، ۴۱-۱۹).



© نویسنده‌ان

ناشر: مؤسسه انتشارات دانشگاه تهران.

DOI: <https://doi.org/10.22059/ijhs.2025.383255.2217>

مقدمه

گیاهان تیره نعنای (Lamiaceae) از دیرباز به عنوان گیاهان دارویی در ایران مورد استفاده قرار می‌گرفته‌اند. جنس *Ziziphora* در بازار گیاهان دارویی ایران دو گونه پرمصرف دارد که شامل گونه چندساله *Z. clinopodioides* با نام کاکوتی کوهی و گونه یکساله *Z. tenuior* با نام کاکوتی می‌باشد. کاکوتی کوهی گستردگی چمن‌گی و سبیعی در مناطق کوهستانی، دامنه‌های صخره‌ای و واریزهای و مناطق استپی ارتفاعات مناطق خزری و ایرانی تورانی ایران دارد. از این‌رو، تنوع مورفولوژیکی فراوانی نیز در رویشگاه‌های مختلف نشان می‌دهد؛ به طوری که رشینگر (به نقل از جمزاد، ۱۳۹۱) ۹ زیرگونه از آن را در فلورا ایرانیکا معرفی کرده است. از مهم‌ترین ترکیبات اسانس کاکوتی کوهی می‌توان به پولگون، ایزومنتون، سینئول و پیریتون اشاره کرد (سجادی و همکاران، ۱۳۸۲). این گیاه بیشتر برای ناراحتی‌های قلبی، فشار خون بالا، برونشیت، تپش قلب غیر طبیعی، آسم و آبسه ریه‌ها مورد استفاده قرار می‌گیرد (Tian et al., 2011).

با توجه به روند تغییرات اقلیمی در جهان به عنوان مهم‌ترین تهدید قرن حاضر، پیش‌بینی می‌شود که مدت و تنابع دوره‌های خشکسالی در سال‌های آینده افزایش یابد (Osmolovskaya et al., 2018). خشکسالی طی سال‌های ۱۹۹۸ تا ۲۰۱۷ بیش از ۱۲۰ میلیارد دلار خسارت وارد کرده است و از سال ۲۰۰۰ خشکی و دوره‌های آن تا ۲۹۰۰ درصد افزایش یافته است (Yin et al., 2024). در میان تنفس‌های غیر زیستی، خشکی از شایع‌ترین، شدیدترین و اجتناب‌ناپذیرترین تنفس‌های محیطی است و عاملی محدودکننده برای عملکرد و رشد و نمو گیاهان به شمار می‌رود. پدیده خشکی با ممانعت از رشد و نمو گیاه و تحت تاثیر قرار دادن تمام فعالیت‌های گیاه می‌تواند خسارات اقتصادی زیادی را به همراه داشته باشد. بنابراین، همانند سایر تنفس‌های محیطی تاثیر منفی عمیقی بر ویژگی‌های مورفولوژیک، فیزیولوژیک و بیوشیمیابی گیاه دارد (Seleiman et al., 2021).

تنفس خشکی ناشی از خشکسالی در زنجیره انتقال الکترون اختلال ایجاد می‌کند و منجر به تولید گونه‌های فعال اکسیژن، آسیب اکسیداتیو به پروتئین‌ها و اسیدهای نوکلئیک، اکسیداسیون لیپیدهای غشا و بی‌ثباتی و آسیب به غشاء سلولی می‌شود و گاهی ممکن است مرگ سلول‌های گیاهی را نیز به همراه داشته باشد (Chen et al., 2019). بسیاری از ترکیبات فلزی، مانند فلاونوئیدها، می‌توانند اثر گونه‌های فعال اکسیژن را خنثی کنند (González- Orenga et al., 2023). در شرایط کمبود آب، پژمردگی برگ‌ها به دنبال کاهش محتوای رطوبت نسبی برگ، افزایش تبخیر و کاهش جذب آب توسط سیستم ریشه‌ای گیاه اتفاق می‌افتد (Fathi & Barari Tari, 2016). تنفس خشکی مزوفیل برگ را متاثر و از طریق کاهش سنتز آنزیم ریبولوز- بی فسفات و کاهش فعالیت روبیسکو و یا هر دوی آن‌ها ظرفیت فتوستراتی را کاهش می‌دهد، بنابراین جلوگیری از رشد، همراه با بسته شدن روزنه‌ها از اولین پاسخ‌های گیاهان به خشکی است (Shafiei et al., 2019).

با افزایش تقاضا برای استفاده از گیاهان دارویی، توسعه کشت آنها در شرایط نامطلوب محیطی مانند شرایط خشکی سبب حفظ تنوع زیستی آنها و پایداری صنایع دارویی خواهد شد. ارزش تجاری گیاهان دارویی به حضور مواد موثره موجود در آنها وابسته است. این مواد معمولاً در شرایط تنفس افزایش می‌یابند. آب قابل دسترس گیاه از مولفه‌های اصلی تعیین‌کننده میزان اسانس و عملکرد گیاهان است. از آنجا که تنفس خشکی از عوامل مهم تاثیرگذار در افزایش میزان اسانس بسیاری از گیاهان دارویی است، بنابراین بررسی حاضر با هدف مقایسه خصوصیات مورفولوژیک، رشدی، فیزیولوژیک، عملکرد و ترکیب‌های اسانس برخی اکوتیپ‌های کاکوتی کوهی تحت شرایط قطع آبیاری در دو مرحله رویشی و زایشی گیاه انجام شد.

پیشنهاد پژوهش

تنفس خشکی عامل مهمی در افزایش بیوسنتر متابولیت‌های ثانویه در بسیاری از گیاهان می‌باشد. گونه‌های مختلف گیاهی نیز تحت سطوح مختلف آبیاری واکنش‌های متفاوتی نشان می‌دهند. در گیاه دارویی آویشن، تغییری در عملکرد اسانس گونه

تحت چهار سطح مختلف آبیاری مشاهده نشد (Jordan *et al.*, 2003). در حالی که، در گونه *T. zygis* بیشترین میزان ماده خشک و عملکرد انسانس در سطح آبیاری متوسط به دست آمد (Sotomayor *et al.*, 2004). تاثیر تنفس خشکی بر رشد و عملکرد گیاهان دارویی مختلف از قبیل آویشن قره باگی^۱ (سودائیزاده و همکاران، ۱۳۹۵)، مرزه سهندی (ذاکریان و همکاران، ۱۳۹۹)، ریحان (Musie Mulugeta & Radácsi 2022)، آویشن باگی (نصری و همکاران، ۱۴۰۱) و^۲ نعناع فلفلی^۳ (Ostadi *et al.*, 2023) مورد ارزیابی قرار گرفته است. نتایج این پژوهش‌ها نشان داد که تنفس خشکی در این گیاهان به طور کلی باعث کاهش صفات رشدی، میزان رطوبت نسبی آب برگ و افزایش نشت یونی بجز آویشن قره باگی شد که نشان از تحمل نسبی این گیاه نسبت به تنفس خشکی می‌باشد. کاهش مقدار رنگیزه‌های فتوستنتری مانند کلروفیل a در آویشن باگی تحت شرایط خشکی (نصری و همکاران، ۱۴۰۱) و افزایش مقدار آن در آویشن قره باگی (سودائیزاده و همکاران، ۱۳۹۵) نیزگزارش شده است، اما این شاخص در مرزه سهندی (ذاکریان و همکاران، ۱۳۹۹) تحت تاثیر قرار نگرفت. همچنین، کاهش مقدار کلروفیل b تحت تنفس خشکی در مرزه سهندی (ذاکریان و همکاران، ۱۳۹۹) و افزایش مقدار آن در آویشن باگی (نصری و همکاران، ۱۴۰۱) گزارش شده است. تنفس خشکی همچنین در آویشن دنایی (Bahreininejad *et al.*, 2013)، مرزه سهندی (ذاکریان و همکاران، ۱۳۹۹)، ریحان (Musie Mulugeta & Radácsi 2022)، آویشن باگی (Rahimi *et al.*, 2022) و نعناع فلفلی (Ostadi *et al.*, 2023) باعث افزایش میزان فل کل، فعالیت آتنی اکسیدانی، بازده و عملکرد انسانس شد.

پاسخ اکوتیپ‌های مختلف یک گونه به شرایط کشت می‌تواند متفاوت باشد. بررسی اکوتیپ‌های مختلف آویشن دنایی تحت شرایط تنفس خشکی نشان داده است که اکوتیپ‌های مختلف از نظر درصد انسانس، میزان ماده‌خشک، کلروفیل، کاروتون، پرولین و فعالیت آنزیم‌های کاتالاز، آسکوربات‌پراکسیداز، گلوتاتیون‌پراکسیداز و پلی‌فنل‌اکسیداز، واکنش متفاوتی به تیمارهای اعمال شده داشتند (خورشیدی و همکاران، ۱۳۹۷).

پژوهش‌های پیشین در ارتباط با اثر تنفس خشکی روی کاکوتی کوهی بسیار محدود است. مقایسه گیاه کاکوتی کوهی با سه گیاه دارویی آویشن شیرازی، آویشن باگی و کلپوره، مقاومت بیشتر گیاه کاکوتی کوهی به تنفس خشکی را نسبت به سه گیاه دیگر نشان داد. تنفس خشکی سبب افزایش عدد کلروفیل متر و وزن ویژه برگ در گیاه کاکوتی کوهی گردید. در این بررسی کاکوتی کوهی و آویشن باگی جهت کشت در مناطق خشک و نیمه خشک توصیه شد (کوچکی و همکاران، ۱۳۸۳). در یک مطالعه اعمال تنفس خشکی در کاکوتی کوهی سبب کاهش وزن خشک بوته، برگ و ساقه و مقادیر کلروفیل a، b، کلروفیل کاروتونوئید و عملکرد انسانس شد و استفاده از سالیسیلیک اسید مقادیر این صفات را افزایش داد (حیدرزاده و همکاران، ۱۳۹۶). در پژوهشی دیگر اثرات نامطلوب تنفس خشکی با کاربرد دو نوع قارچ مایکوریز (Glomus intraradices) و G. versiforme کاهش یافت و میزان استقرار گیاه، ارتفاع گیاه و وزن خشک گیاه بهبود پیدا کرد (Azimi *et al.*, 2018).

پاسخ اکوتیپ‌های مختلف کاکوتی کوهی به تنفس خشکی در مرزه تاکنون بررسی نشده است، لذا در بررسی حاضر تغییرات صفات رشدی، بیوشیمیایی و انسانس چند اکوتیپ کاکوتی کوهی تحت تنفس قطع آبیاری بررسی شد.

روش شناسی پژوهش

این تحقیق در سال‌های ۱۳۹۹ و ۱۴۰۰، در ایستگاه تحقیقات گروه مهندسی علوم باگبانی و فضای سبز دانشکده کشاورزی دانشگاه تهران واقع در محمد شهر کرج و به منظور بررسی اثر قطع آبیاری در دو مرحله رشدی روی اکوتیپ‌های مختلف کاکوتی کوهی انجام شد. بذر گیاهان از رویشگاه‌های طبیعی جمع‌آوری شد. اطلاعات کلیماتولوژی رویشگاه‌ها بر اساس اعلام

1. *Thymus fedtschenkoi* Ronn.

2. *Satureja sahendica* Bornm.

3. *Ocimum* species

4. *Thymus vulgaris* L.

5. *Mentha piperita* L.

سازمان هواسناسی کل کشور در **جدول ۱** آمده است. آزمایش به صورت طرح کرت‌های خرد شده در قالب بلوك‌های کامل تصادفی در سه تکرار طراحی و اجرا گردید. سطوح عامل اصلی شامل شاهد (آبیاری به میزان ۹۰-۱۰۰ درصد آب قابل دسترس گیاه)، قطع آبیاری در مرحله رویشی (در زمان استقرار کامل گیاه، دو ماه بعد از انتقال به زمین اصلی) و قطع آبیاری در مرحله زایشی (شروع غنچه‌دهی) و عامل فرعی شامل پنج اکوتیپ کاکوتی کوهی (ولیان، طالقان، گلوگاه، کبودآهنگ و شازند) بود. به منظور تعیین دور آبیاری، ابتدا ویزگی‌های خاک مزرعه از طریق نمونه برداری از عمق ۳۰ سانتی‌متری خاک مزرعه تعیین شد. بر این اساس، بافت خاک از نوع لومی (شامل ۱۹ درصد رس، ۴۸ درصد سیلت و ۲۳ درصد شن)، ضریب خاک ۱/۳ تعیین شد. نقطعه پژمردگی دائم ۲۰/۱۶ درصد و ظرفیت مزرعه‌ای خاک ۶۹/۲۳ درصد تعیین شد. سپس میزان آب قابل دسترس ریشه گیاه براساس رابطه ۱ بدست آمد (Nogozi & Edgo, 2006).

$$TAW=DRZ(FC-PWP)/100$$

(رابطه ۱)

در این رابطه TAW، آب قابل دسترس گیاه بر حسب میلی متر؛ DRZ عمق منطقه توسعه ریشه بر حسب متر؛ FC، ظرفیت زراعی بر اساس ضریب خاک و PWP، نقطه پژمردگی دائم براساس ضریب خاک بر حسب متر مکعب می‌باشد. سپس مقدار و حجم آب آبیاری براساس ۹۰-۱۰۰ درصد آب قابل دسترس گیاه محاسبه و برای تیمار شاهد مورد استفاده قرار گرفت. رطوبت مورد نیاز خاک هر روز با استفاده از دستگاه رطوبت‌سنج TDR اندازه گیری شد و سپس آبیاری به صورت قطره‌ای اعمال شد. بسته به شرایط آب و هوایی، آبیاری به صورت روزانه یا یک روز در میان به مدت تقریبی ۲۱ دقیقه انجام شد.

بذر اکوتیپ‌های کاکوتی کوهی جمع‌آوری شده (جدول ۱) در هفته اول اسفند ۱۳۹۹ در سینی نشاء و در بستری شامل ۷۵ درصد کوکوپیت و ۲۵ درصد پرلیت در گلخانه با دمای روزانه ۱۸ تا ۲۵ و شبانه ۱۵-۲۰ درجه سلسیوس و در زیر سیستم مه پاش (میست) کشت و بعد از گذشت سه ماه در اوخر اردیبهشت سال ۱۴۰۰، پس از دو هفته مقاوم سازی گیاهان در محیط بیرون از گلخانه، در مرحله ۵ تا ۶ برگی به زمین اصلی منتقل شدند. تمام عملیات بعد از کاشت تا قبل از اعمال قطع آبیاری به صورت یکسان برای تمام کرت‌ها صورت گرفت. اعمال قطع آبیاری در دو مرحله رویشی (دو ماه پس از کاشت در زمین اصلی و پس از استقرار کامل گیاهان) و زایشی (پس از مشاهده غنچه‌ها، سه ماه پس از کاشت در زمین اصلی) انجام شد.

جدول ۱. مشخصات جغرافیایی و اقلیمی مناطق جمع‌آوری بذر اکوتیپ‌های کاکوتی کوهی

اکوتیپ	استان	رویشگاه	ارتفاع از سطح	طول	عرض جغرافیایی	میانگین دمای سالیانه	میانگین بارش سالیانه	نسبی سالیانه (درصد)	رطوبت (میلی متر)
۱	البرز	ولیان	۱۸۳۰	۳۷°	۵۰°۵'	۳۶°۰'۰"	۱۴/۶	۳۱۹/۳	۴۳/۳
۲	البرز	طالقان	۲۲۵۵	۵°	۵۰°۹'	۳۶°۰'۴"	۱۲/۹۵	۴۱۵/۴	۵۴/۳
۳	مازندران	گلوگاه	۴۰	۳°	۵۳°۹'	۳۶°۴'۷"	۱۷/۶	۵۹۴/۶	۷۱/۲
۴	همدان	کبود آهنگ	۱۶۶۶	۲°	۴۸°۹'	۲۵°۰'۴"	۱۰/۱	۲۸۹/۲	۴۷/۶۵
۵	مرکزی	شازند	۱۹۲۰	۱°	۴۹°۰'	۳۳°۵'	۱۲/	۴۴۵/۵	۴۳/۷

برداشت گیاهان در زمان مشاهده ۵۰ درصد گلدهی گیاهان در هر ردیف کشت و از فاصله حدود ۱۰ سانتی‌متری سطح خاک انجام شد. صفات رشدی گیاه شامل ارتفاع گیاه، طول برگ، سطح برگ (با استفاده از دستگاه سطح سنج)، تعداد میانگره ساقه، تعداد گل در گل آذین، وزن خشک گیاه و برگ به روش‌های معمول اندازه گیری شد. میزان نشت یونی و رطوبت نسبی

بلافاصله پس از برداشت نمونه‌ها اندازه‌گیری شد. برای اندازه‌گیری مقدار رنگیزه‌های فتوستنتزی و فنل کل نمونه‌های برگی تهیه و در نیتروژن مایع منجمد (انجماد در ۱۹۶- درجه سلسیوس) و سپس در فریزر ۸۰- درجه سلسیوس نگهداری شدند. رنگیزه‌های فتوستنتزی (کلروفیل و کارتنتوئید) به روش (Lichtenthaler & Bushman 2001)، محتوای رطوبت نسبی برگ به روش (Turner 1981)، نشت یونی با روش (Sairam 2001) و فنل کل به روش (Singleton 1965) انجام شد.

استخراج و تجزیه اسانس

استخراج اسانس با استفاده از دستگاه کلونجر و به روش تقطیر با آب به مدت سه ساعت انجام شد (Omidbaigi, 2005). آنالیز ترکیب‌های اسانس با استفاده از دستگاه کروماتوگراف گازی (GC) و کروماتوگراف گازی کوپل شده به طیف سنج جرمی (GC-MS) و با توجه به زمان بازداری، اندیس بازداری و مقایسه طیف‌های جرمی به دست آمده با طیف‌های جرمی موجود در کتابخانه دیجیتال دستگاه انجام شد. میزان کمی ترکیب‌ها نیز با محاسبه سطح زیر پیک هر ترکیب به دست آمد.

مشخصات دستگاه کروماتوگرافی گازی (GC)

دستگاه کروماتوگراف گازی مورد استفاده مدل Agilent متعلق به دتکتور FID (آشکار سازی یونیزاسیون شعله ای) بود. ستون دستگاه از نوع کاپیلاری 5-HP به طول ۳۰ متر، قطر داخلی ۲۵۰ میکرومتر و ضخامت لایه فاز ساکن ۰/۵ میکرومتر بود. برنامه دمایی شامل ۵ دقیقه دمای ۶۰ درجه سیلیوس بود. سپس با سرعت سه درجه سلسیوس بر دقیقه دما افزایش یافت و به مدت سه دقیقه دمای ثابت ۲۹۵ درجه سیلیوس اعمال شد. دمای قسمت تزریق و آشکار ساز به ترتیب ۱۶۰ و ۲۴۰ درجه سلسیوس بود و از گاز هلیم به عنوان گاز حامل با سرعت جریان یک میلی متر بر دقیقه استفاده شد.

مشخصات دستگاه GC-MS

به منظور شناسایی و تعیین میزان ترکیبات اسانس از کروماتوگراف گازی (Mdl 7990B Agilent) متعلق به طیف سنج جرمی با ستون 5-HP (طول ستون ۳۰ متر، قطر داخلی ۲۵۰ میکرومتر و ضخامت لایه داخلی ۰/۵) استفاده شد. از هلیوم با سرعت جریان یک میلی متر بر دقیقه به عنوان گاز حامل استفاده شد. برنامه دمایی آون مشابه با برنامه دمایی GC بود. شناسایی ترکیب‌ها از طریق شاخص‌های بازداری و مقایسه طیف‌های جرمی به دست آمده با طیف‌های جرمی موجود در کتابخانه دیجیتال دستگاه انجام شد و میزان کمی ترکیب‌ها نیز با محاسبه سطح زیر پیک مربوط به هر ترکیب به دست آمد.

تجزیه آماری

تجزیه واریانس داده‌ها بر اساس طرح کرت‌های خرد شده در قالب طرح بلوک کامل تصادفی و مقایسه میانگین‌ها با آزمون LSD در سطح احتمال ۵ درصد با استفاده از نرم افزار Minitab 21 انجام شد. رسم نمودارها و جدول‌ها با نرم افزار اکسل ۲۰۱۶ و تجزیه خوشه‌ای بر اساس تمام ترکیب‌های اسانس به روش UPGMA و معیار فاصله توان دوم اقلیدسی انجام شد. ضرایب همبستگی صفات نیز بر اساس ضریب همبستگی پیرسون و با استفاده از نرم‌افزار SPSS 26 محاسبه گردید.

یافته‌های پژوهش

ویژگی‌های رشدی گیاه

نتایج حاصل از تجزیه واریانس نشان داد که اثر مرحله اعمال تنفس خشکی بر صفات سطح برگ، وزن خشک بوته و وزن خشک برگ در سطح ۵ درصد معنی‌دار شدند. همچنین، اثر اکوتیپ بر ارتفاع گیاه، طول برگ و سطح برگ در سطح یک درصد معنی‌دار شد. اثر متقابل تنفس در اکوتیپ تنها بر وزن خشک بوته و در سطح پنج درصد معنی‌دار شد. (جدول ۲).

جدول ۲. نتایج تجزیه واریانس اثر مرحله تنفس خشکی و اکوتیپ بر صفات رشدی کاکوتی کوهی

میانگین مربعات

منابع تغییرات	درجه آزادی	ارتفاع گیاه	تعداد سرشاخه	طول برگ	سطح برگ	تعداد میانگره	تعداد گل	وزن بوته	وزن خشک	وزن بوته	درصد وزن خشک
بلوک	۲	۵۵/۱۳۷	۸۸/۱۸۱	۲۱/۲۸۲	۵۱۸۴	۰/۴۷۷	۰/۲۰۷	۶۹۸/۵۸۴	۲۷/۴۹	۴۴/۰۳۹	۴۴/۰۳۹
تنش	۲	۱۸۳/۰۲۶	۵۳۵/۳۳۴	۷/۳۵۹	۲۴۵۳۶*	۱/۰۰۹	۰/۲۰۷	۲۷۷۵/۱۳۳*	۶۶۰/۱۶*	۸۱/۴۴۹	۸۱/۴۴۹
خطای اصلی	۴	۱۹۲/۲۳۸	۵۷۹/۷۵۸	۰/۰۳۴	۲۵۱۹	۰/۰۸۵	۰/۲۰۷	۳۸۹/۵۸۳	۴۲/۹۶	۱۴/۵۲۹	۱۴/۵۲۹
اکوتیپ	۴	۳۱۰/۵۳۶**	۲۵۴/۰۶۲	۴۰/۷۸***	۱۰۵۷۶***	۲/۱۵۰	۰/۲۷۸	۱۲۷/۶۵۸	۸۰/۰۳۸	۳۴/۳۵۸	۳۴/۳۵۸
تنش × اکوتیپ	۸	۲۲/۹۶	۳۴۹/۷۶۸	۶/۵۸۰	۴۱۴۹	۰/۰۳۱	۰/۱۰۴	۶۶۴/۵۲۰*	۱۱۸/۷۷	۱۵۲/۴۱۶	۱۵۲/۴۱۶
خطای فرعی	۲۴	۳۴/۱۷۳	۲۴۷/۳۳۲	۴۰/۰۸۰	۲۴۸۶	۰/۰۷۹	۰/۲۰۷	۲۰۲/۸۹۶	۶۲/۰۸	۱۱۱/۵۶۷	۱۱۱/۵۶۷
ضریب تغییرات (%)		۱۳/۹۱	۳۵/۶۰	۱۱/۹۱	۳۳/۹۹	۷/۳	۳۶	۲۹/۵۵	۴۱/۳۶	۲۸/۲۵	

* و ** به ترتیب نشان دهنده تفاوت معنی‌دار در سطح احتمال ۵ و ۱ درصد می‌باشند.

اثر تنفس خشکی بر وزن خشک برگ و سطح برگ

تنفس خشکی وزن خشک برگ یک بوته را کاهش داد. تنفس در مرحله رویشی سبب کاهش وزن خشک برگ به میزان ۴۹/۱۷ درصد شد. بیشترین وزن خشک برگ (۲۵/۹۹ گرم در بوته) در تیمار شاهد بدست آمد. با اعمال تنفس در مرحله رویشی سطح برگ به میزان ۳۸ درصد کاهش یافت، در حالیکه تنفس در مرحله زایشی تأثیری بر این شاخص نداشت (جدول ۳).

اثر نوع اکوتیپ بر ارتفاع، طول برگ و سطح برگ

در بین اکوتیپ‌ها، کمترین ارتفاع گیاه در اکوتیپ گلوگاه (۳۱/۹۴ سانتی‌متر) مشاهده شد، درحالی که سایر اکوتیپ‌ها تفاوت معنی‌داری نشان ندادند. این شاخص از ۴۲/۸۳ تا ۴۷/۴۲ سانتی‌متر در بین اکوتیپ‌ها متغیر بود (جدول ۳). اکوتیپ‌های مورد مطالعه از نظر طول برگ نیز تفاوت معنی‌داری داشتند. نتایج نشان داد که اکوتیپ‌های کبودرآهنگ، شازند و ولیان به ترتیب با میانگین‌های ۱۸/۷۷، ۱۸/۶۱ و ۱۷/۷۸ سانتی‌متر بیشترین و اکوتیپ گلوگاه کمترین (میانگین ۱۳/۷۸ سانتی‌متر) مقادیر طول برگ را دارا بودند (جدول ۴).

جدول ۳. مقایسه میانگین (mean \pm SE) سطح برگ و وزن خشک برگ در مراحل مختلف تنفس خشکی

تیمار	سطح برگ (میلی‌متر مربع)	وزن خشک برگ (گرم در بوته)
شاهد	^a ۱۷/۱ \pm ۱۶۲/۴۷	۲۵/۹۹ \pm ۳/۱۳ ^a
تنش در مرحله رویشی	^b ۸/۰۶ \pm ۱۰۰/۵۰	۱۲/۷۸ \pm ۱/۵۶ ^b
تنش در مرحله زایشی	^a ۱۹/۶ \pm ۱۷۶/۵۱	۱۸/۳۵ \pm ۱/۴۲ ^b

مقادیر ستون‌های دارای حروف مشترک فاقد تفاوت معنی‌دار براساس آزمون LSD می‌باشند.

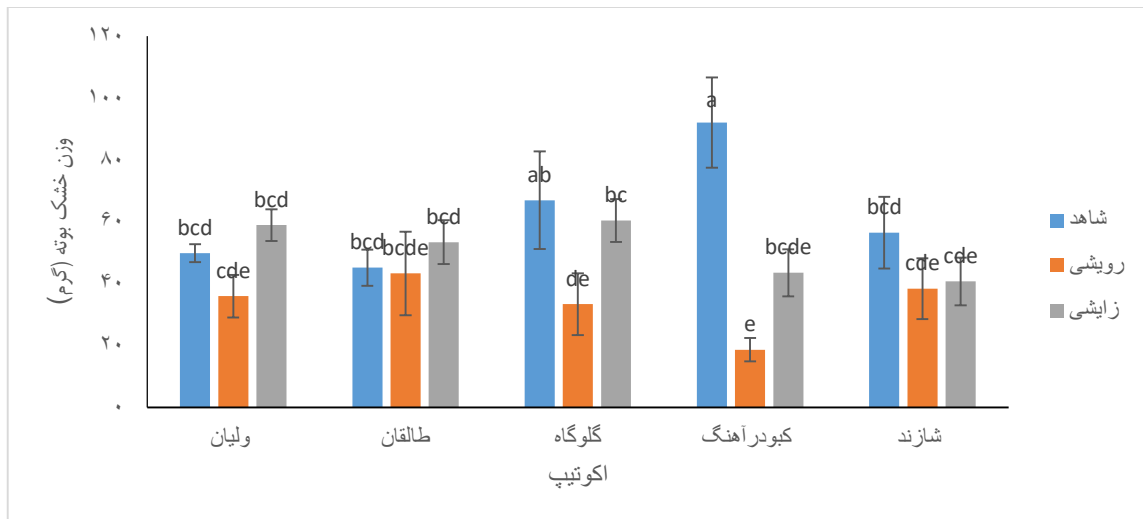
جدول ۴. مقایسه میانگین (mean \pm SE) برخی صفات رشدی اکوتیپ‌های کاکتوئی کوهی مورد مطالعه

سطح برگ (میلی متر مربع)	طول برگ (میلی متر)	ارتفاع گیاه (سانتی‌متر)	ولیان
۱۶۶/۳۸ \pm ۲۳/۱ ^a	۱۱/۰۸ \pm ۱۷/۷۸	۱۲/۸۱ \pm ۴۳/۰۴	
۱۷۴/۷۳ \pm ۲۰/۴ ^a	۱۱/۱۵ \pm ۱۵/۸۱	۱۳/۱۷ \pm ۴۳/۶۳	طلالقان
۹۱/۶۵ \pm ۱۵/۸ ^b	۱۰/۴۶۶ \pm ۱۳/۷۸	۱۱/۲۹ \pm ۳۱/۹۴	گلوگاه
۱۳۴/۴۶ \pm ۱۷/۵ ^{ab}	۱۰/۵۳۵ \pm ۱۸/۷۷	۱۲/۲۱ \pm ۴۷/۴۱	کبودرآهنگ
۱۶۵/۲۶ \pm ۲۷/۳ ^a	۱۰/۴۸۱ \pm ۱۸/۶۱	۱۲/۸۲ \pm ۴۳/۹۴	شازند

مقادیر ستون‌های دارای حروف مشترک فاقد تفاوت معنی دار بر اساس آزمون LSD می‌باشند.

اثر مقابل تنش خشکی و اکوتیپ بر وزن خشک بوته

بیشترین وزن خشک بوته در گیاهان تحت آبیاری نرمال اکوتیپ کبودرآهنگ مشاهده شد که با گیاهان اکوتیپ گلوگاه در همین شرایط آبیاری تفاوت معنی داری نشان نداد. با اعمال تنش خشکی در مرحله رویشی وزن خشک بوته در بین اکوتیپ‌ها تفاوت معنی داری نشان نداد. اگرچه، اکوتیپ کبودرآهنگ کمترین میزان را داشت. کاهش معنی دار مقدار وزن خشک بوته نسبت به شاهد با اعمال تنش در دو اکوتیپ گلوگاه (۱۱/۵۰ درصد) و کبودرآهنگ مشاهده شد (شکل ۱).



شکل ۱. میانگین وزن خشک بوته در اکوتیپ‌های مورد مطالعه کاکتوئی کوهی در مراحل مختلف تنش خشکی

ویژگی‌های فیزیولوژیک و بیوشیمیایی

نتایج حاصل از تجزیه واریانس داده‌های فیزیولوژیک و بیوشیمیایی نشان داد که اثر مرحله اعمال تنش خشکی تنها بر مقادیر فنل کل و درصد اسانس معنی دار بود. اثر اکوتیپ نیز تنها بر درصد اسانس معنی دار شد. اثر مقابل اکوتیپ و مرحله اعمال تنش بر هیچ‌کدام از صفات معنی دار نشد (جدول ۵).

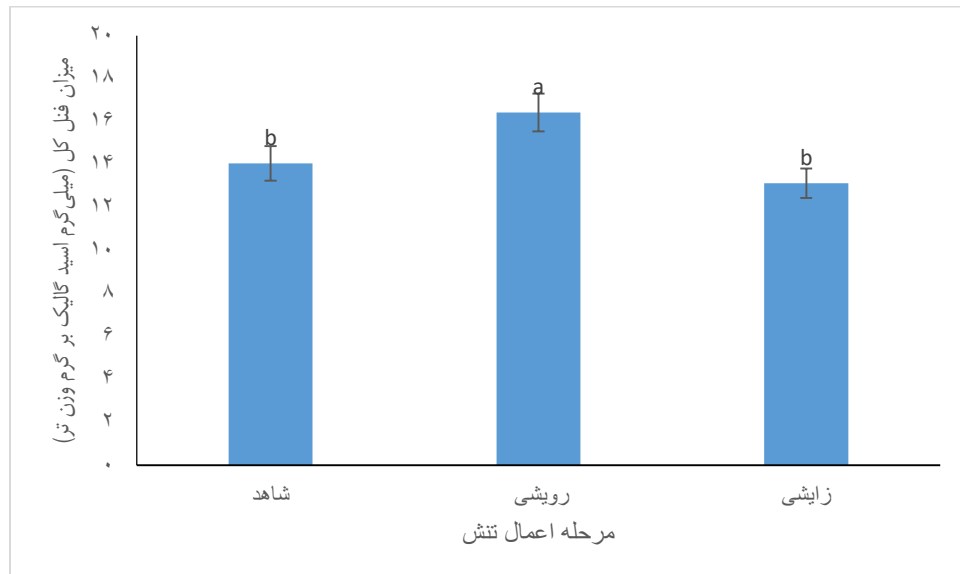
جدول ۵. نتایج تجزیه واریانس اثر مرحله اعمال تنفس خشکی و اکوتیپ بر صفات فیزیولوژیک و بیوشیمیایی کاکوتی کوهی میانگین مربعات

منابع تغییرات (درصد)	درجه آزادی	محتوای آب نسبی	کلوفیل a	کلوفیل b	کاروتونئید	فنل کل	درصد اسانس	عملکرد اسانس
بلوک	۲	۱۱۸/۵۱۶	۰/۹۶۸	۰/۲۴۶	۱/۲۲۲	۰/۶۸۴	۵۵/۳۹۶	۳۲/۶۰۸
تنش	۲	۴۷۷/۱۵۲	۴۵/۶۹۷	۹/۵۷۲	۹۷/۰۶۰	۳/۸۲۱	۲۱۵/۵۹۱	۴۳/۳۰۱*
خطای اصلی	۴	۱۵۱/۴۶۲	۲۰/۶۶۸	۴۲/۴۵۸	۳/۴۱۱	۲۲۵/۱۸۴	۴/۶۱۲	۰/۴۵۶
اکوتیپ	۴	۹۴/۱۶۸	۴/۷۶۱	۰/۷۱۶	۰/۱۶۴	۸۸/۸۰۶	۶/۶۵۴	۱/۶۶۰***
تنش × اکوتیپ	۸	۹۷/۸۵۲	۶/۰۸۱	۱/۱۱۱	۰/۷۲۱	۱۲۷/۰۲۴	۹/۷۵۲	۰/۱۸۸
خطای فرعی	۲۴	۸۱/۲۶۸	۱۰/۸۱۱	۱/۵۲۰	۲۰/۲۷۴	۱/۳۳۰	۸/۷۸۵	۰/۱۸۵
ضریب تغییرات	۲۲/۴۰	۲۲/۳۶	۲۴/۱۷	۲۰/۸۷	۲۷/۱۷	۲۰/۳۸	۲۱/۷۳	۳۷/۹۲

* و ** به ترتیب نشان دهنده تفاوت معنی دار در سطح احتمال ۵ و ۱ درصد می باشند.

اثر مرحله اعمال تنفس خشکی بر میزان فنل کل و درصد اسانس

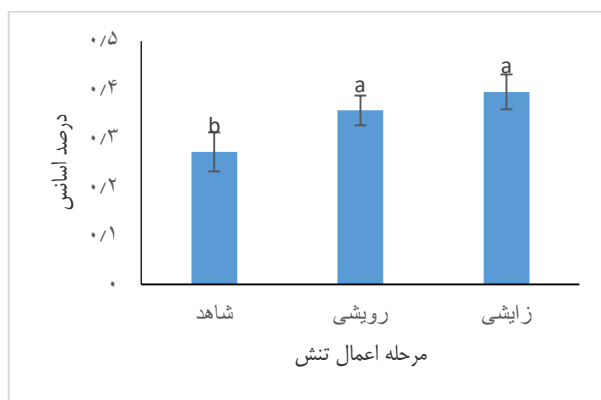
اعمال تنفس خشکی در مرحله رویشی باعث افزایش ۱۴/۴۳ درصدی محتوای فنل کل (میانگین ۱۶/۴۲ میلی گرم اسید گالیک بر گرم وزن تر) شد، در حالی که در مرحله زایشی تفاوتی با تیمار شاهد نداشت (شکل ۲).



شکل ۲. میانگین میزان فنل کل در مراحل مختلف اعمال تنفس خشکی در کاکوتی کوهی

مقادیر ستون های دارای حروف مشترک قادر تفاوت معنی دار می باشند.

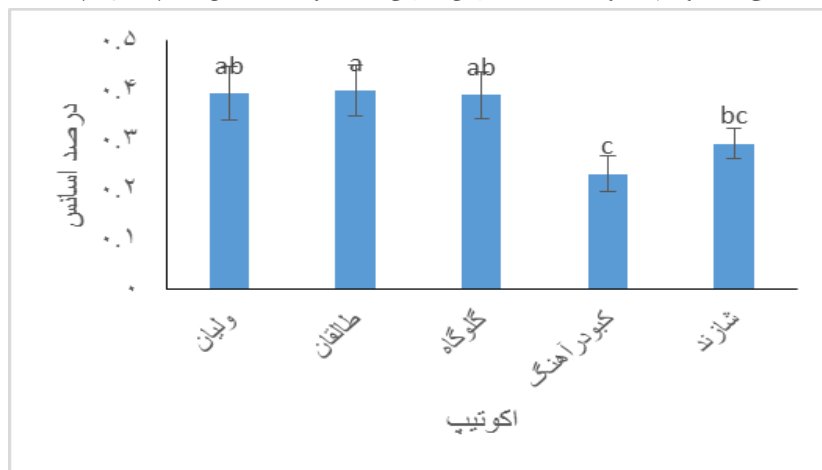
با اعمال قطع آبیاری در هر یک از مراحل رشدی درصد اسانس افزایش قابل ملاحظه ای داشت، به طوری که در مرحله زایشی ۱۱/۳۱ درصد و در مرحله رویشی افزایش نشان داد (شکل ۳).



شکل ۳. میانگین میزان اسنس در مراحل مختلف اعمال تنفس خشکی در گیاه کاکوتی کوهی (منبع: یافته های تحقیق)

اثر اکوئیپ بر درصد اسنس

مقدار درصد اسنس در بین اکوئیپ‌های مورد بررسی متفاوت بود. اکوئیپ‌های گلوگاه، طالقان و ولیان بیشترین میزان اسنس را دارا بودند، در حالی که اکوئیپ کبودرآهنگ کمترین میزان را به خود اختصاص داد (شکل ۴).



شکل ۴. میانگین میزان اسنس در اکوئیپ‌های مورد مطالعه کاکوتی کوهی(منبع: یافته های تحقیق)

ترکیب‌های اسنس

با جداسازی و شناسایی ترکیب‌های اسنس کاکوتی کوهی ۲۳ ترکیب موثره شناسایی گردید که ۸۷/۱۲ درصد ترکیب‌های اسنس را شامل شدند. ترکیب‌های غالب اسنس در اکثر اکوئیپ‌ها و تیمارهای مورد مطالعه شامل menthol، pulegone، شامول ۱-cyclohexene-1-methanol، $\alpha,\alpha,4$ -trimethyl-، neoiso-menthol ۱,8-Cineole بودند.

بیشترین میزان پولگون به ترتیب در گیاهان اکوئیپ‌های طالقان (۳۹/۹۰ درصد) و گلوگاه (۳۹/۴ درصد) تحت تنفس در مرحله رویشی و کمترین میزان آن (۶/۰۷۵ درصد) در گیاهان اکوئیپ شازند در تیمار شاهد مشاهده شد. بیشترین میزان منتول (۲۳/۶۵ درصد) نیز در گیاهان اکوئیپ شازند تحت تنفس اعمال شده در مرحله زایشی و کمترین میزان آن (۳/۸۴۷ درصد) در گیاهان اکوئیپ کبودرآهنگ تحت تنفس در مرحله رویشی به دست آمد. بیشترین (۱۱/۸۲۲ درصد) و کمترین (۰/۰۶۸ درصد) میزان نئوایزو-منتول در گیاهان شاهد و به ترتیب در اکوئیپ‌های ولیان و شازند حاصل شد. بیشترین میزان ۱-cyclohexene-1-methanol، $\alpha,\alpha,4$ -trimethyl- (۱۱/۹۲۱ درصد) در گیاهان اکوئیپ شازند تحت تنفس در مرحله زایشی و کمترین میزان آن (۲/۹۵۱ درصد) در گیاهان اکوئیپ کبودرآهنگ تحت تنفس خشکی در مرحله رویشی حاصل شد. بیشترین میزان ۱،۸-سینئول نیز در تیمار شاهد کبودرآهنگ مشاهده شد (جدول ۷).

جدول ۷. مقایسه ترکیبات انسانس اکوتیپ‌های کاکوتی کوهی در شرایط تنفس خشکی

ترکیب اسانس	زمان	اندیس	تاهد						تش در مرحله رویش						تش در مرحله زایش					
			باندرا	باندرا	ولیان	طلاقلان	گلوگاه	کیدرلهنگ	تازند	ولیان	طلاقلان	گلوگاه	کیدرلهنگ	تازند	ولیان	طلاقلان	گلوگاه	کیدرلهنگ	تازند	
<i>α</i> -Pinene	۱۷/۹	۹۷/۷	-	+/۶۴	+/۱۹۷	+/۱۴۰	+/۱۴	+/۲۲۳	+/۱۶	+/۷۷	+/۱۳	+/۲۲۲	+/۱۰۹	+/۱۱۱	+/۱۵	+/۱۹	+/۳۱۵	+/۴۶		
Sabinene	۱۷/۲	۹۹	-	-	-	+/۱۲۹	-	-	-	+/۴۵	+/۱۸۴	+/۱۹۱	-	۱/۱۸	+/۹۴	+/۱۹۷	+/۳۲۵	+/۵۰۵		
beta.-Pinene	۱۷/۹	۹۷/۰	۲/۴۲	۸/۹۷۰	۴/۹۷	۸/۳۷۵	۸/۸۲۷	۲/۱۰۵	۲/۵۴۲	۴/۴۱۲	۱/۲۶۲	۲/۱۹۶	۳/۴۰۳	۲/۶۲۵	۴/۷۹۹	۱/۸۸۹	۱/۸۰۵			
3-Octanone	۱۷/۸۰	۹۷/۲	+/۲۸	۱/۱۲۲	+/۴۶۵	+/۱۷۱	+/۴۱۴	+/۴۵۱	+/۲۸	+/۸۴	+/۷۶	+/۵۴	+/۴۵	+/۲۴	+/۳۳	+/۱۱	+/۴۲			
Myrcene	۱۷/۹۹	۹۸/۷۴	+/۱۰	+/۱۲	+/۹۴	+/۱۴۵	+/۱۰	+/۱	+/۱۲	+/۸	+/۱۹۹	+/۱۲	+/۱۲	-	+/۹۱	-	+/۱۲			
p-Cymene	۲۷/۳	۱۰۲/۴	+/۸۷	۴/۲۱	+/۸۱	۷/۷۳	۵/۱۵	۷/۵۴	+/۷۸	۷/۷۴	۷/۵۰	۷/۱۱	۷/۸۸	۷/۷۷	۱/۲۸	۹/۲۷	+/۸۷			
1,8-Cineole	۲۷/۲۲	۱۰۲۰/۸	۱/۹۹	۱۰/۱۳	۵/۲۰	۶۹/۹	۱۶۹۲	۲/۰۷۷	۲/۷۵	۵/۲۷	۲۲/۴۸	۴/۷۴	۴/۹۷	۲/۲۰	۰/۵۸	۲/۱۶	۲/۱۰			
γ -Terpinene	۲۷/۵۵	۱۰۰۷/۹	+/۴	۱/۹۲	+/۷	۱/۷۷	۱/۱۶	+/۱۲	+/۰۹۹	+/۹	۱/۷۰	+/۱۹	+/۱	+/۱۲۴	+/۱۹	۲/۷۵	+/۴۹			
cis-Sabinene hydrate (IPP vs. OH)	۲۷/۱۱	۱۰۰۱/۴	+/۴۴	۴/۹۲	+/۱۲	۲/۸۴	۴/۵۵	+/۰۵۵	+/۱۹۹	+/۱۹	۵/۹	+/۹۳	+/۰۸	+/۰۵	+/۷۲	۸/۰۶	+/۰۲			
Terpinolene 1-cyclohexene- 1-	۲۷/۷۷	۱۰۰۷/۶	-	+/۹۹	-	-	+/۲۰۸	-	+/۱۹۰	-	+/۱۹۹	-	-	+/۱۹۴	-	+/۱	-			
1-methanol, <i>o,o,4</i> - trimethyl- menthone	۲۷/۵۴	۱۱۵۵/۶	۷/۷۸	۷/۸۷	۱۲/۱۷	۹/۱۹	۷/۱۰	۷/۸۸	۷/۱۲۸	۱۲/۰۸	۷/۹۰	۱۱/۷۱	۱۰/۰۲	۷/۱۷	۱۲/۱۷	۱/۰۸	۱۲/۹۷			
iso- menthone	۲۷/۱۱	۱۱۰۷/۶	NFF	۴/۸۱	۶/۹۷	۹/۷۰	-	۸/۴۵	۷/۷۷۳	۷/۷۴	-	۸/۱۸	۸/۹۷	۸/۹۸	۵/۴۱	۸/۹۷	۷/۱۰			
menthol	۱۹/۲	۱۱۶۲/۶	۱۶/۷۸	۷/۱۰	۷/۲۰	۱۰/۰۹	۱۰/۱۲	۱۲/۷۷	۸/۶۳	۴/۷۰	۲/۸۴	۱۶/۲۴	۱۱/۷۲	۹/۷۶	۰/۹۸	-	۱۲/۷۵			
Iso-pulegone	۱۹/۰	۱۱۱۷/۶	۷/۰۵	۱/۸۴	۶/۹۷	۲/۰۹	۲/۱۷	۲/۷۳	۲/۷۳	۱/۶۰	۱/۰۴	۲/۱۹	۲/۱۰	۲/۱۰	۱/۷۴	+/۰۸	۹/۰۴			
terpinen-4-ol	۱۹/۸۱	۱۱۱۷/۶	+/۱۲	۷/۹۰	+/۲۱	+/۸۰	+/۱۸۶	+/۱۹۲	+/۱۱	+/۱۶	۲/۹۱	+/۱۹۵	+/۲۷	+/۱۲	+/۲۵	۶/۱۵	+/۱۴			
neoiso- menthol	۲۰/۲۶	۱۱۶۷/۷	۱۱/۸۷	۱۰/۴۰	A/۷۰	-	+/۰۷۸	۱۰/۹۳	A/۰۹	۷/۱۷	۴/۷۴	۰/۰۷	۹/۷۷	۷/۰۱	۸/۷۰	+/۱۱	+/۱۷			

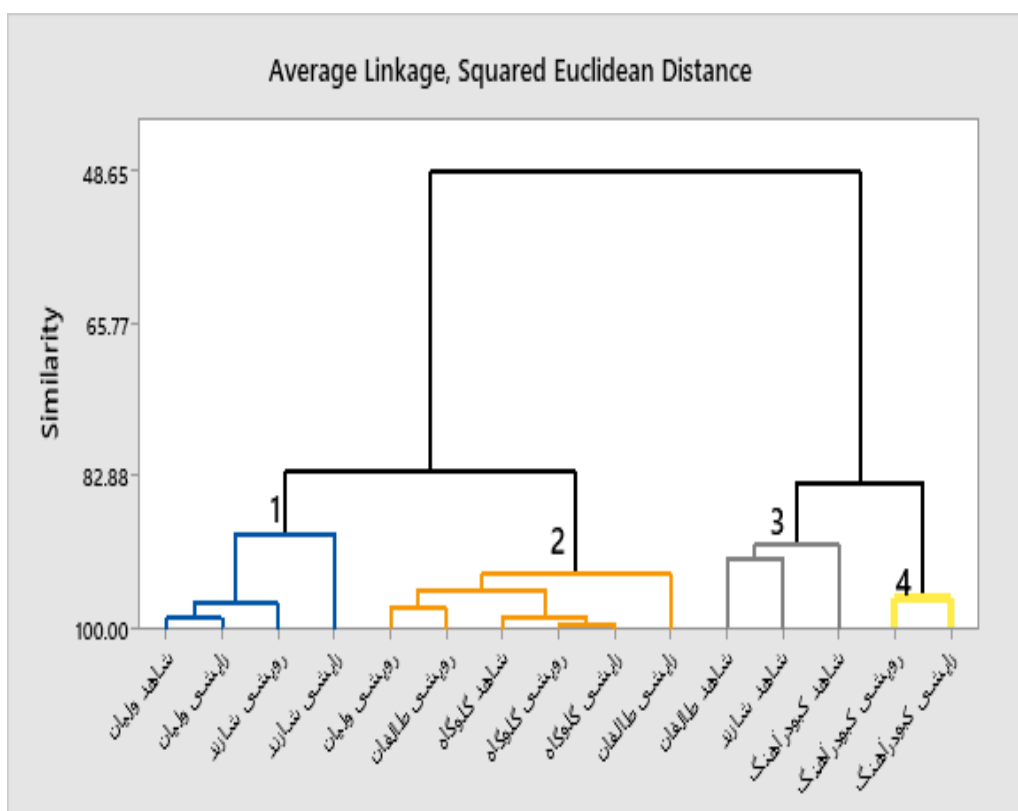
ادامه جدول ۷.

	زمان	اندیس بازاری	شاهد						تنش در مرحله رویشی						تنش در مرحله راشی					
			ولیان	طلالقان	گلوگاه	کبودرهنگ	شا زند	ولیان	طلالقان	گلوگاه	کبودرهنگ	شا زند	ولیان	طلالقان	گلوگاه	کبودرهنگ	شا زند			
			۲۵/۰۰	۹/۱۳	۳۵/۰۳	۱۷/۰۵	۶/۰۷	۲۴/۹۹	۳۹/۹۰	۳۹/۴۲	۸/۷۱	۲۷/۶۴	۲۲/۸۷	۳۷/۴۲	۳۹/۸۸	۲/۶	۲۲/۶۲			
pulegone	۲۲/۸	۱۳۳/۰	-	-	-	-	-	-	-	-	-	-	-	-	-	-	-			
piperitone	۳۷/۴۶	۱۲۴/۰	۲/۲۴	۱/۴۱	۱/۲۰	۲/۲۸	۱/۰۶	۲/۶۵	۲/۷۶	۱/۰۲	۰/۰۸	۷/۲۹	۷/۴۴	۲/۹۱	۱/۰۳	۰/۰۸	۷/۲۴			
<i>a</i> -terpinen-7-al	۳۷/۷۱	۱۲۸/۰	۰/۰۸	-	-	-	-	-	-	-	-	-	۰/۰۶	۰/۰۳	-	-	۰/۰۹			
Thymol	۳۶/۷	۱۲۹/۴	۱/۷۸	۱/۳۴	۰/۱۶	۰/۷۸	۱/۳۸	۰/۱۹۹	۰/۱۸۵	۰/۰۶۸	۰/۰۲۵	۰/۱۴	۱/۱۳	۲/۴۵	۰/۱۱	۰/۰۵	۰/۱۳			
menthyl acetate	۳۵/۷۵	۱۲۹/۳	۰/۱۴	-	-	-	۰/۱۷	-	-	-	-	۰/۰۴۳	۰/۰۴۵	۰/۰۳	-	-	۰/۰۴			
piperitenone	۳۷/۴۴	۱۳۴/۰	۲/۵۵	۰/۶۴	۱/۷۷	۰/۶۱	۱/۳۴	۲/۹۷	۳/۹۸	۰/۱۳	۰/۰۹	۷/۸۰	۲/۶۸	۳/۶۱	۱/۶۵	۰/۰۹	۲/۷۴			

میزان پولگون با اعمال تنش قطع آبیاری در اکوتبپ های طالقان، گلوگاه، و شازند افزایش یافت. اما در اکوتبپ کبودرهنگ تنش قطع آبیاری سبب کاهش این ترکیب شد. این درحالی است که در این اکوتبپ ترکیب غالب انسانس در هر سه تیمار آبیاری ترکیب ۱-سینئول (شاهد، تنش در مرحله رویشی و زایشی به ترتیب ۴۹/۴۹، ۴۹/۴۸ و ۲۲/۲۶ درصد) بود که با اعمال تنش نیز مقدار آن کاهش یافت. بنابراین، اکوتبپ کبودرهنگ می تواند یک کموتب از ۸-۱-سینئول باشد. میزان متول نیز با اعمال تنش در هر دو مرحله تنها در اکوتبپ شازند افزایش چشمگیری داشت، درحالی که در سایر اکوتبپ ها اعمال تنش منجر به کاهش میزان این ترکیب شد. میزان نئوایزو-متول نیز در اکوتبپ های ولیان، طالقان و گلوگاه با اعمال تنش کاهش یافت (جدول ۷).

تجزیه خوشهای ترکیب‌های انسانس

تجزیه خوشهای بر اساس تمام ترکیب‌های انسانس و به روش UPGMA و معیار فاصله توان دوم اقلیدسی، تیمارهای مورد بررسی را به چهار گروه مجزا تقسیم کرد (شکل ۶). گروه یک شامل دو اکوتبپ ولیان و شازند بود. در این گروه اکوتبپ ولیان تحت تنش در مرحله زایشی و شاهد به همراه اکوتبپ شازند تحت تنش در مرحله زایشی و رویشی در کنار یگدیگر قرار گرفتند. این گروه دارای بیشترین مقادیر متول، ایزو-پولگون و پیپریتون بود (شکل ۵ و جدول ۷). گروه دو شامل اکوتبپ های گلوگاه، ولیان و طالقان بود. در این گروه اکوتبپ گلوگاه تحت شرایط بدون تنش و تنش در مرحله زایشی و رویشی در کنار دو اکوتبپ ولیان تحت تنش رویشی و طالقان تحت تنش رویشی و زایشی قرار گرفتند. این گروه دارای بیشترین مقادیر پولگون، نئوایزو-متول و پیپریتون بود (شکل ۵ و جدول ۷). گروه سوم شامل سه اکوتبپ طالقان، شازند و کبودرهنگ بود که هر سه در شرایط بدون تنش قرار داشتند. این گروه با داشتن بیشترین مقادیر تیمول و مقادیر بالایی از گاما ترپین، آلفا پین، ترپین-۴-ال، سابین هیدرات و پاراسیمن مشخص می شود (شکل ۲ و جدول ۷). گروه چهار تنها اکوتبپ کبودرهنگ را با اعمال تنش در مرحله رویشی و زایشی در خود جای داد. این گروه با داشتن بیشترین مقادیر ۱،۸-سینئول، گاما ترپین، ترپین-۴-ال، اکتانون، سابین هیدرات و سیمن از بقیه گروهها متمایز می گردد (شکل ۵ و جدول ۷). نتایج فوق نشان می دهد که دو اکوتبپ گلوگاه و طالقان تحت تنش خشکی می توانند مقادیر بالایی از ترکیب مهم پولگون را تولید کنند. همچنین اکوتبپ کبودرهنگ برای تولید ۱،۸-سینئول گزینه مناسبی می باشد.



شکل ۵. تجزیه خوش‌ای بر اساس کلیه ترکیب‌های اسانس بر اساس روش UPGMA و معیار فاصله توان دوم اقلیدسی (منبع: یافته‌های تحقیق)

همبستگی صفات مورد بررسی

به منظور تشخیص وجود هرگونه همبستگی و رابطه توارثی بین صفات مورد بررسی در کاکوتی کوهی و استفاده در انتخاب گیاهان در برنامه‌های اصلاحی، همبستگی بین صفات مورد بررسی قرار گرفت (جدول ۸). در مطالعه حاضر بیشترین همبستگی‌ها به ترتیب زیر به دست آمد: وزن خشک گیاه با وزن خشک برگ (۰/۸۵۳) و عملکرد اسانس (۰/۵۴۶)؛ وزن خشک گیاه با عملکرد اسانس (۰/۴۱۸) و وزن خشک برگ (۰/۳۳۳)؛ وزن خشک برگ با پولگون (۰/۰۶۹۰) و ۱ - سیلیووهگزن - ۱ - متنول - ۴ - تری متیل (۰/۵۱۵)؛ کلروفیل a با کلروفیل کل (۰/۹۹۶) و کارتنتوئید (۰/۰۹۶۱)؛ کلروفیل b با کلروفیل کل (۰/۰۹۷۶) و کارتنتوئید (۰/۰۹۵۳)؛ کلروفیل کل با کارتنتوئید (۰/۰۹۶۸) و تعداد سرشاخه گل دار (۰/۰۳۷۱)؛ کارتنتوئید با تعداد سرشاخه گل دار (۰/۰۳۵۵) و تعداد گل در گل آذین (۰/۰۲۹۹)؛ درصد اسانس با عملکرد اسانس (۰/۰۵۱۶)؛ ارتفاع گیاه با تعداد گل در گل آذین (۰/۰۵۵۶) و تعداد سرشاخه گل دار (۰/۰۵۴۹)؛ تعداد سرشاخه گل دار با تعداد گل در گل آذین (۰/۰۷۲۶)، تعداد میانگره در ساقه (۰/۰۵۵۶) و تعداد سرشاخه گل دار (۰/۰۵۴۹)؛ طول برگ با نتوایزومتنول (۰/۰۶۳۵) و سطح برگ (۰/۰۴۵۵) همبستگی مثبت و معنا دار داشتند. همچنین، درصد رطوبت نسبی با نشت یونی (۰/۰۳۳۸) و تعداد سرشاخه گل دار (-۰/۰۴۰۴) همبستگی منفی و معنی دار داشتند.

جدول ۸. ضرایب همبستگی صفات مورد مطالعه در برخی اکوتیپ‌های کاکوتی کوهی تحت تنش خشکی

۱	۲	۳	۴	۵	۶	۷	۸	۹	۱۰	۱۱	۱۲	۱۳	۱۴	۱۵	۱۶	۱۷	۱۸	۱۹	۲۰	۲۱	۲۲
DW	PDW	LDW	RWC	Chl.a	Chl.b	Chl.T	Car	EL	Phe	EoP	EoY	PH	NFS	NIFS	LL	LA	NFI	PUL	Men	NM	CMT
۱	۱																				
۲	/۴۸۵**																				
۳	/۸۵۳**	/۳۲۳*																			
۴	/۰۲۹	/۰۲۴	/۰/۰۲۸																		
۵	/۰/۰۵۶	/۰/۰۷۸	/۰/۰۹۶																		
۶	/۰/۰۳۶	/۰/۰۳۵	/۰/۰۹۲																		
۷	/۰/۰۷۹	/۰/۰۹۳	/۰/۰۹۶																		
۸	/۰/۰۲۰	/۰/۰۹۹	/۰/۰۲۸																		
۹	/۰/۰۲۷	/۰/۰۴۹	/۰/۰۷۵																		
۱۰	/۰/۰۸۷	/۰/۰۲۰	/۰/۰۱۲																		
۱۱	/۰/۰۷۱	/۰/۰۹۱	/۰/۰۱۵																		
۱۲	/۰۴۶**	/۰۱۸**	/۰۰۰**																		
۱۳	/۰/۰۱۴	/۰/۰۷۴	/۰/۰۱۰																		
۱۴	/۰/۰۸۳	/۰/۰۸۳	/۰/۰۲۵																		
۱۵	/۰/۰۵۹	/۰/۰۱۱	/۰/۰۱۳																		
۱۶	/۰/۰۳۷	/۰/۰۱۳	/۰/۰۳۰																		
۱۷	/۰/۰۴۴	/۰/۰۵۹	/۰/۰۷۳																		
۱۸	/۰/۰۶۲	/۰/۰۷۹	/۰/۰۱۸۴																		
۱۹	/۰/۰۴۵	/۰/۰۰۲	۸۹۰**																		
۲۰	/۰/۱۱۳	/۰/۰۷	/۰/۱۶۴																		
۲۱	/۰/۰۴۸	/۰/۱۰	/۰/۰۵																		
۲۲	/۰/۰۲۰	/۰/۰۱۰	/۰/۰۵*																		

DW (وزن خشک گیاه)، PDW (درصد وزن خشک)، LDW (وزن خشک برج)، RWC (کلروفیل (a) برج)، Chl.a (کلروفیل (a)، Chl.b (کلروفیل (b)، Chl.T (کلروفیل (کل)، Car (کارتوئید)، EL (نشت یونی)، Phe. (فل کل)، EoP (فل کل)، EoY (درصد انسانس)، PH (عملکرد انسانس)، LA (ارتفاع گیاه)، LL (طول برج)، NFI (تعداد گل در گل آذین)، NFS (تعداد سرشاخه گلدار)، NIFS (تعداد میان گره در ساقه گلدار)، Pul. (بولگون)، MN (متول)، NM (نایزو متول)، CMT (سیلیوهگرن - ۱ - متول - ۴ - تری متول - a, a - به ترتیب نشان دهنده تفاوت معنی دار در سطح احتمال ۵ و ۱ درصد

بحث

گیاهان تحت تنفس خشکی و مواجه با کمبود آب در سطح سلولی نشانه‌هایی از کاهش در فرایندهایی چون تورژسانس، تقسیم سلولی و رشد طولی را نشان می‌دهند، از نظر ظاهری نیز علائمی مانند کاهش ارتفاع گیاه، کوچک شدن برگ‌ها و کاهش تعداد برگ‌ها در گیاه را بروز می‌دهند (سودائی‌زاده و همکاران، ۱۳۹۵). این نشانه‌ها به عنوان اولین مکانیسم‌های مقابله با تنفس خشکی شناخته می‌شوند (Akbarzadeh *et al.*, 2023). گزارش شده است که ارتفاع گیاه در نعناع فلفلی (Ostadi *et al.*, 2023) و ریحان (قائمه و همکاران، ۱۳۹۷) (Musie Mulugeta & Radácsi, 2022؛ Khaleghnezhad *et al.*, 2021) و آویشن باغی (Sharafi *et al.*, 2019) در شرایط تنفس خشکی کاهش می‌یابد. اما نتایج تحقیق حاضر نشان داد که اعمال تنفس خشکی در هیچ‌کدام از مراحل رشدی گیاه تغییری در ارتفاع گیاه ایجاد نکرد، بنابراین می‌توان نتیجه گرفت که تقسیم سلولی و رشد طولی سلول‌های ساقه این گیاه تحت تأثیر کمبود آب قرار نگرفتند. اما سطح برگ در نتیجه کاهش تقسیم سلولی و رشد طولی سلول‌های برگ در جهت کاهش سطح تبخیر با اعمال تنفس خشکی در مرحله رویشی کاهش یافت. کاهش در سطح برگ در ریحان (Musie Mulugeta & Radácsi, 2022) و کاکوتی کوهی (حیدرزاده و همکاران، ۱۳۹۶) نیز تحت تنفس خشکی گزارش شده است. اما تنفس در مرحله زایشی تغییری در مساحت برگ ایجاد نکرد. به نظر می‌رسد که در زمان اعمال تنفس در مرحله زایشی سطح برگ به حداقل رشد خود رسیده بوده است.

نتایج این تحقیق نشان داد که تنفس خشکی در هر دو مرحله رویشی و زایشی باعث کاهش وزن خشک برگ نسبت به شاهد شد. کاهش مقدار ماده خشک گیاه در شرایط کمبود آب نتیجه بسته شدن روزنه‌ها، کاهش هدایت روزنها، تخریب تمامیت غشا پلاسمایی و اندامک‌ها است که منجر به توقف فعالیت آنزیم رویسیکو و نهایتاً کاهش میزان فتوستنتز در گیاه می‌گردد (Bota *et al.*, 2004). کاهش وزن خشک گیاه تحت تنفس خشکی در بسیاری از گیاهان از جمله ریحان (Musie Mulugeta & Radácsi, 2022؛ Asghari *et al.*, 2023) و زرین گیاه (بادرنجبویه دنایی) (مفاخری و همکاران، ۱۳۹۷) مشاهده شده است. در بررسی اثر تنفس خشکی در بادرنجبویه، کاهش وزن خشک برگ نیز همانند پژوهش حاضر گزارش شده است (Khaleghnezhad *et al.*, 2021). تنفس خشکی می‌تواند سبب کاهش محتوای کلروفیل گردد. این کاهش در محتوای کلروفیل معمولاً با زرد یا قهوه‌ای شدن برگ‌ها قبل مشاهده است. با این حال، در این بررسی محتوای کلروفیل a و b و کلروفیل کل با اعمال تنفس خشکی تفاوتی نکرد که نشان‌دهنده نوعی سازگاری و حفاظت کلروفیل در این گیاه نسبت به تنفس خشکی است.

در تحقیق حاضر میزان نشت الکتروولیت در هر دو تیمار اعمال تنفس خشکی تفاوتی با گیاهان تیمار نشده نشان نداد. این نشان از مقاومت بالای غشا سلولی کاکوتی کوهی در برابر اعمال تنفس است. عدم افزایش نشت یونی تحت تیمار تنفس خشکی در برخی گیاهان مانند کاکوتی کوهی (حیدرزاده و همکاران، ۱۳۹۶) و سه رقم ریحان (مقدم و همکاران، ۱۳۹۴) نیز مشاهده شده است. تنفس خشکی می‌تواند منجر به نشت الکتروولیت در غشا و از بین رفتن استحکام غشا یاخته‌ای و حتی غشای کلروپلاستی گردد. گزارش شده است که رقم‌هایی که پایداری غشای بالاتری دارند، توانایی تحمل بهتر خشکی را خواهند داشت (اسدی و همکاران، ۱۳۹۶). همچنین، در شرایط تنفس، گونه‌های فعال اکسیژن افزایش می‌یابند. این گونه‌های فعال اکسیژن تأثیر زیانباری بر غشای یاخته‌ای دارند و سبب پراکسیداسیون اسیدهای چرب شده و نشت یونی را افزایش می‌دهند گیاهان در چنین شرایطی مقدار زیادی از اسمولیت‌ها را انباست می‌کنند تا در نتیجه محتوای آب گیاه تحت تنفس خشکی حفظ شود. تولید گونه‌های فعال اکسیژن یک خطر برای متابولیسم سلولی در نظر گرفته می‌شود زیرا به طور کلی منجر به نشت الکتروولیت می‌شود (Jafari *et al.*, 2022). به نظر می‌رسد که گیاه کاکوتی کوهی پتانسیل خوبی برای مقابله با گونه‌های فعال اکسیژن در شرایط تنفس خشکی دارد.

براساس نتایج این تحقیق، محتوای نسبی آب برگ با اعمال تنفس در کاکوتی کوهی کاهش نیافت. کاهش محتوای نسبی آب برگ یکی از شایع‌ترین پیامدهای تنفس خشکی است. این کاهش متناسب با شدت خشکی است. همچنین، این شاخص به

گونه گیاهی، مرحله رشد و مدت تنش بستگی دارد. کاهش محتوی نسبی آب برگ منجر به کاهش پتانسیل آبی برگ‌ها می‌گردد، بنابراین برگ‌ها روزنه‌ها را می‌بندند تا سرعت تعرق کمتر شود (Yang et al., 2023). اما، کاهش تعرق می‌تواند منجر به افزایش دمای برگ شود؛ بنابراین، محدودیت دستری این به آب به شدت رشد و نمو گیاه را محدود می‌کند (Musie Mulugeta & Radács 2022). کاهش محتوی نسبی آب برگ تحت تنش خشکی در بسیاری از گیاهان از جمله نعناع فلفلی (Musie Mulugeta & Radács 2022)، آویشن باغی (Ostadi et al., 2023) و ریحان (Rahimi et al., 2023) گزارش شده است. در تحقیق حاضر تنش خشکی در هیچکدام از مراحل رشدی تغییر محسوسی در محتوای نسبی آب ایجاد نکرد این نتایج نشان می‌دهد که گیاه کاکوتی کوهی قادر است بخوبی محتوای نسبی آب را در شرایط تنش حفظ نماید.

در تحقیق حاضر با اعمال تنش خشکی در مرحله رویشی، مقدار فلکل افزایش یافت. گیاهان زمانی که در معرض شرایط تنش قرار می‌گیرند، تجمع متabolیت‌های ثانویه را به همراه دارند تا بتوانند اثرات نامطلوب تنش خشکی را رفع نمایند (Mansinhos et al., 2022). تجمع فلکل‌ها تحت تنش‌های غیر زیستی یکی از مکانیسم‌های دفاعی گیاه است (Cyplik et al., 2023). بسیاری از تنش‌های غیر زیستی، از جمله خشکسالی اغلب بر تولید ترکیبات فلکلی به عنوان مقابله با واکنش‌های اکسیدانتیو تاثیر می‌گذارند (Mansinhos et al., 2022). نتایج تحقیق حاضر با نتایج تحقیقات انجام شده روی نعناع فلفلی (Asghari et al., 2023)، آویشن باغی (Ostadi et al., 2023)، ریحان (Rahimi et al., 2023)، گونه‌ای آویشن (Khaleghnezhad et al., 2021) و بادرشبویه (Mansinhos et al., 2022) که در آنها محتوی فلکلی برگ‌های گیاهان تحت تنش خشکی افزایش داشت، هم راستا بود.

نتایج این تحقیق نشان داد که میزان انسانس در هر دو مرحله اعمال تنش نسبت به شاهد افزایش یافت. تنش خشکی، درصد روغن‌های انسانسی بیشتر گیاهان تیره نعنا را افزایش می‌دهد. در این شرایط، رشد، تولید و حتی بقای گیاه کاهش می‌یابد. زیرا شرایط بهینه برای رشد گیاه فراهم نیست. تحت شرایط تنش تغییرات فیزیولوژیک و متabolیک همانند بسته شدن روزنه‌ها و کاهش فتوستتر در گیاه رخ می‌دهد که منجر به کاهش NADP⁺ به عنوان گیرنده الکترون و تجمع NADPH+ H⁺ می‌شود. بنابراین، گیاه برای مصرف آن بیوستتر متabolیت‌های ثانویه مانند فنول‌ها و ترپن‌وئیدها را افزایش می‌دهد که در نتیجه آن میزان درصد و محتوای انسانس افزایش می‌یابد (García-Caparrós et al., 2019). درصد و میزان عملکرد انسانس در ریحان (Khaleghnezhad et al., 2021) و آویشن (Asghari et al., 2023) نعناع فلفلی (Ostadi et al., 2023) و بادرشبویه (Khaleghnezhad et al., 2021) دنایی (خورشیدی و همکاران، ۱۳۹۴) نیز تحت تنش خشکی افزایش داشت.

در بررسی حاضر عمده‌ترین ترکیب انسانس در اغلب اکوتیپ‌های مورد بررسی پولگون بود که میزان آن از ۳/۶ تا ۳۹/۹ درصد متغیر بود. بیشترین مقدار این ترکیب در اکوتیپ‌های طالقان و گلوگاه با اعمال تنش در مرحله زایشی و اکوتیپ‌های ولیان و طالقان تحت تنش در مرحله رویشی به دست آمد.

در یک بررسی روی انسانس گیاه کاکوتی کوهی عمده‌ترین ترکیب‌های انسانس شامل پولگون (۲۹/۲۴ درصد)، ۱,۳- کارواکرول (۵/۲۷ درصد) گزارش شد (Kazeminia et al., 2024). در گزارشی دیگر مهم‌ترین ترکیب‌ها شامل پولگون (۲۸/۱۷ درصد)، ترنس ایزوپولگون (۳/۰۹ درصد) و پیپرتون اکسید (۱/۴۰ درصد) بود (Baghouz et al., 2024). نتایج بررسی دیگری در تعیین ترکیب‌های انسانس کاکوتی کوهی نیز حاکی از حضور پولگون به میزان ۶۲/۱۷ درصد، ایزومونتون به میزان ۱۸/۴۲ درصد، آیی متنول ۵/۵۵ درصد و پیپرتون به میزان ۳/۹۹ درصد به عنوان ترکیب‌های عمده انسانس بود (Han et al., 2023). در هر سه این گزارش‌ها مطابق با نتایج ما پولگون بیشترین درصد از انسانس گیاه کاکوتی را شامل شد. اما گزارشات دیگری وجود دارد که ترکیب‌های دیگری چون ۸,۱-سینئول (۱۶/۱۱ درصد) و پیپرتون (۱۶/۸۴ درصد) بیشترین درصد انسانس را به خود

1. *Thymus lotoccephalus*

اختصاص داده اند (Faryabi *et al.* 2024) که احتمالاً به دلیل تفاوت‌های ژنتیکی است که در اکوتیپ‌های مختلف کاکوتی کوهی با پراکنده‌گی وسیع در ایران طی زمان ایجاد شده است و یا به شرایط رشدی آن‌ها مرتبط است. در پژوهش حاضر نیز ترکیب ۸,۱-سینئول در یک اکوتیپ (کبودرآهنگ) ترکیب غالب بود.

بررسی همبستگی بین صفات می‌تواند متخصصین اصلاح را در انجام گزینش غیر مستقیم برای صفات مهم زراعی از طریق صفاتی که اندازه گیری آنها آسان‌تر است، یاری نماید. این امر بویژه در مورد گیاهان دارویی که استخراج و آنالیز مواد موثره، کاری پر هزینه و زمان بر است، اهمیت بیشتری دارد. ارزیابی و پی بردن به همبستگی صفات مورفولوژیک با مهم‌ترین خصوصیات یک گیاه دارویی مثل ماده خشک، درصد و نوع ماده موثره می‌تواند در گزینش مناسب‌ترین جمعیت‌ها کمک شایانی نماید. نتایج تجزیه همبستگی صفات نشان داد که رابطه مستقیم و نزدیکی بین میزان ماده خشک برگ با میزان پولگون و عملکرد اسانس وجود دارد. بنابراین، فراهمی شرایط مطلوب رشد و نمو و تولید گیاهانی با ماده خشک برگ بیشتر منجر به افزایش میزان پولگون و تولید بیشتر اسانس خواهد شد. انتخاب گیاهانی با طول برگ بیشتر نیز منجر به تولید گیاهانی با میزان نهایی‌ومنقول بیشتر خواهد بود.

نتیجه گیری

با توجه به مشکل جهانی کم آبی و خشکسالی‌های متوالی، معرفی گیاهانی که توانایی تولید بهینه محصولات را در چنین شرایطی داشته باشند بسیار حیاتی می‌باشد. نتایج این تحقیق روی گیاه دارویی کاکوتی کوهی نشان داد که این گیاه بخوبی شرایط کم آبی را در طول دوره رشد تحمل کرده و می‌تواند برای کشت در این مناطق توصیه شود. در بین اکوتیپ‌های مورد بررسی بیشترین درصد اسانس در اکوتیپ‌های طالقان، گلوگاه و ولیان بدست آمد. نتایج نشان داد که با قطع آبیاری در هر دو مرحله رویشی و زایشی در اکوتیپ‌های گلوگاه و طالقان می‌توان به بالاترین مقادیر ترکیب پولگون دست یافت. بنابراین، از این دو اکوتیپ می‌توان در شرایط دیم در مناطقی که با کمبود آب در طول رویش گیاه مواجه هستند برای بدست آوردن حداکثر میزان پولگون استفاده نمود. همچنین، این اکوتیپ‌ها گزینه‌های مناسبی برای برنامه‌های اصلاحی کاکوتی کوهی می‌باشند.

منابع

- اسدی، وهاب؛ رسولی، موسی؛ غلامی، منصور و ملکی؛ معصومه (۱۳۹۶). بررسی برخی ویژگی‌های ریخت شناختی و فیزیولوژیک چهار رقم انگور (*Vitis vinifera* L.) در شرایط تنفس خشکی. نشریه علوم باگبانی ایران، ۴۸(۴)، ۹۷۷-۹۹۰.
- جم زاده، زیبا (۱۳۹۱). فلور ایران، تیره نعنای (Lamiaceae). تهران: موسسه تحقیقات جنگل‌ها و مراتع ایران.
- حیدر زاده، علی؛ ناظری جونقانی، وحیده و تبریزی، لیلا (۱۳۹۶). تاثیر محلول پاشی سالیسیلیک اسید بر ویژگی‌های کمی و کیفی کاکوتی کوهی (*Ziziphora clinopodioides* Lam.) در شرایط تنفس کم آبی. نشریه علوم باگبانی ایران، ۵۱(۴)، ۸۷۱-۸۸۷.
- خورشیدی، جلال؛ شکرپور، مجید و ناظری، وحیده (۱۳۹۴). ارزیابی پاسخ به تنفس کم آبی در اکوتیپ‌های مختلف آویشن دنایی با استفاده از شاخص‌های تحمل تنفس. نشریه علوم باگبانی ایران، ۴۶(۴)، ۵۷۳-۵۶۳.
- خورشیدی، جلال؛ شکرپور، مجید و ناظری، وحیده (۱۳۹۷). بررسی تأثیر تنفس کم آبی بر عملکرد، اسانس و برخی از صفات فیزیولوژیک اکوتیپ‌های آویشن دنایی (*Thymus daenensis* subsp. *daenensis*) در منطقه کرج. نشریه علوم باگبانی ایران، ۴۰(۳)، ۶۲۴-۶۱۳.
- ذکریان، فاطمه؛ سفید کن، فاطمه؛ عباس زاده، بهلول و کلاته جاری، سپیده (۱۳۹۹). تاثیر تنفس خشکی و قارچ‌های میکروریزا بر صفات فیزیولوژیک و درصد اسانس مرزه سهندی (*Satureja sahendica* Bornm.). نشریه علوم باگبانی ایران، ۵۱(۱)، ۲۰۱-۱۸۹.
- سجادی، سیدابراهیم؛ قاسمی دهکردی، نصرالله و بلوچی، مریم (۱۳۸۲). بررسی مواد متشکله اسانس اندام‌های هوایی گیاه کاکوتی کوهی (*Ziziphora clinopodioides* Lam.). نشریه پژوهش و سازندگی، ۱۶(۱)، ۹۷-۱۰۰.

شفیعی، نرگس؛ خالقی، اسماعیل و معلمی، نوراله (۱۳۹۸). تأثیر اسیدسالیسیلیک بر برخی خصوصیات رشدی و بیوشیمیایی زیتون رقم 'کنسروالیا' (*Olea europaea* cv. 'Conservalia') تحت شرایط تنش خشکی. *تولیدات گیاهی* (محله علمی کشاورزی) ۱(۱)، ۳۰-۱۵.

سودائی زاده، حمید؛ شمسایی، مریم؛ تجملیان، مهدیه؛ میرمحمدی مبیدی، سید علی محمد و حکیم زاده، محمدعلی (۱۳۹۵). ارزیابی برخی صفات فیزیولوژیکی گیاه دارویی آویشن قره باگی (*Thymus fedtschenko*) تحت تأثیر سطوح مختلف تنش خشکی. *تنش‌های محیطی در علوم زراعی*، ۹(۴)، ۴۲۳-۴۲۷.

قائمی، مهین؛ زارع، زهرا و نصیری، یارمحمد (۱۳۹۷). اثر تنش خشکی بر برخی ویژگی‌های مورفولوژیک و میزان تولید اسانس در گیاه دارویی ریحان (*Ocimum basilicum* L.) در مراحل مختلف رشد. *فصلنامه زیست‌شناسی تکوینی*، ۱۱(۱)، ۱۵-۲۶.

کوچکی، عیوض؛ نصیری محلاتی، مهدی و عزیزی، الهام (۱۳۸۳). تأثیر تنش خشکی و برگزدایی بر برخی خصوصیات کمی آویشن شیرازی، کاکوتی، آویشن باگی و کلپوره. *پژوهش‌های زراعی ایران*، ۳(۱-۲)، ۸۹-۱۰۶.

ماخاری، سودابه؛ اصغری، بهور و نیکجویان، محمد جواد (۱۳۹۷). تأثیر نانو کلات روی بر صفات مورفولوژیکی و فیتو شیمیایی گیاه داروئی زرین گیاه یا بادرنجبویه دنایی در شرایط تنش خشکی. *نشریه علوم باغبانی ایران*، ۳(۴۹)، ۷۶۷-۷۵۵.

مقدم، محمد؛ علیرضايی نقدر، مرتضی، سلاح ورزی، یحیی و گلدانی، مرتضی (۱۳۹۴). تأثیر سطوح مختلف تنش خشکی بر برخی ویژگی‌های مورفولوژیکی و فیزیو شیمیایی سه رقم ریحان (*Ocimum basilicum* L.). *نشریه علوم باغبانی ایران*، ۳(۶۴)، ۵۲۱-۵۰۹.

نصری، محمد، کریمی؛ زهرا، اویسی، میثم؛ کسرایی، پورنگ و لاریجانی، حمید رضا (۱۴۰۱). اثر محلول پاشی سالیسیلیک اسید و جاسمونیک اسید بر ویژگی‌های بیوشیمیایی و زراعی آویشن (*Thymus vulgaris* L.) در شرایط تنش خشکی. به زراعی کشاورزی، ۴(۲۴)، ۷۷۲-۱۳۵۹.

REFERENCES

- Akbarzadeh, S., Morshedloo, M. R., Behtash, F., Mumivand, H. & Maggi, F. (2023). Exogenous aminobutyric acid (BABA) improves the growth, essential oil content, and composition of grapefruit mint (*Mentha suaveolens* – *Piperita*) under water deficit stress conditions. *Horticulturae*, 9,34. <https://doi.org/10.3390/horticulturae9030354>
- Asadi, W., Rasouli, M., Gholami, M. & Maleki, M. (2018). Study of some morphological and physiological traits of four varieties grapes (*Vitis vinifera* L.) under water stress. *Iranian Journal of Horticultural Science*, 48(4), 977–90. (In Persian). <https://doi.org/10.22059/ijhs.2019.269570.1539>
- Asghari, J., Mahdavikia, H., Rezaei-Chiyaneh, E., Banaei-Asl, F., Amani Machiani, M. & Tom Harrison, M. (2023). Selenium nanoparticles improve physiological and phytochemical properties of basil (*Ocimum basilicum* L.) under drought stress conditions. *Land*, 12(164),1–14. <http://dx.doi.org/10.3390/land12010164>
- Azimi, R., Heshmati, G. A. & Kianian, M. K. (2018). Effects of drought stress and mycorrhiza on viability and vegetative growth characteristics of *Ziziphora clinopodioides* Lam. *Journal of Rangeland Science*, 8(3), 253-263.
- Bahreininejad, B., Razmjoo, J. & Mirza, M. (2013). Influence of water stress on morphophysiological and phytochemical traits in *Thymus daenensis*. *International Journal of Plant Production*, 7 (1),151-166.
- Baghouz, A., Yassir Bouchelta, I., Rajae El Brahimi, H., Mashail N. Al Zain, O., Abdelaaty A. & Guemmouh. R. (2024). Biocidal activity of *Ziziphora hispanica* L. and *Satureja calamintha* Scheele L. essential oils against the *Callosobruchus maculatus* (Fabricius) pest on cowpea seeds during storage. *Frontiers in Sustainable Food Systems*, 8, 1–13. <http://dx.doi.org/10.3389/fsufs.2024.1329100>
- Bota, J., Medrano, H. & Flexas, J. (2004) Is photosynthesis limited by decreased Rubisco activity and RuBP content under progressive water stress? *New Phytologist*, 162, 671–681. <http://dx.doi.org/10.1111/j.1469-8137.2004.01056.x>

- Chen., J., Zhao, X., Yaqiu Zhang, Y., Li, Y., Yongqing Luo, Y., Ning, Zh., Wang, R., Wang, P. & Cong, A. (2019). Effects of drought and rehydration on the physiological responses of *Artemisia halodendron*. *Water (Switzerland)*, 11(4), 1–13. <http://dx.doi.org/10.3390/w11040793>
- Cyplik, A., Mieczysława Czyczyło-Mysza, I., Jankowicz-Cieslak, J. & Bocianowski, J. (2023). QTL_QTL_QTL interaction effects for total phenolic content of wheat mapping population of CSDH lines under drought stress by weighted multiple linear regression. *Agriculture*, 13(850), 1–11. <http://dx.doi.org/10.3390/agriculture13040850>
- Faryabi, E., Noori, M., Mousavi, A. & Ashraf Jafari, S. (2024). Chemical properties of four valuable medicinal plants on oshtorankoh, Iran. *Journal of Medicinal Plants and by-Products*, 13(2), 345–52. <https://doi.org/10.22034/jmpb.2023.361372.1529>
- Fathi, A. & Barari Tari, D. (2016). Effect of drought stress and its mechanism in plants. *International Journal of Life Sciences*, 10(1), 1–6. <http://dx.doi.org/10.3126/ijls.v10i1.14509>
- García-Caparrós, P., José Romero, M., Llanderal, A., Cermeño, P., Teresa M. & Luz Segura, M. (2019). Effects of drought stress on biomass, essential oil content, nutritional parameters, and costs of production in six Lamiaceae species. *Water*, 11(3), 573. <https://doi.org/10.3390/w11030573>
- Ghaemi, M., Zare, Z. & Nasiri, Y. M. (2019). Effect of drought stress on some morphological characteristics and essential oil production levels of *Ocimum basilicum* in different stages of growth. *Journal of Developmental Biology*, 11(1), 15–25. (In Persian). <https://doi.org/10.22059/ijhs.2015.55870>
- González-Orenga, S., Mariola Plazas, M., Elvira Ribera, E., Pallotti, C., Boscaiu, M., Prohens, J., Vicente, O. & Fita, A. (2023). Transgressive biochemical response to water stress in interspecific eggplant hybrids. *Plant*, 12(194), 1–19. <http://dx.doi.org/10.3390/plants12010194>
- Han, C., Mei, Y., Zhou, Sh. & Shao, H. (2023). Chemical profiling and antifungal activity of *Ziziphora clinopodioides* leaf essential oil against the pathogen *Verticillium dahliae*. *Chemistry and biodiversity*, 20(8), e202300660. <http://dx.doi.org/10.1002/cbdv.202300660>
- Heidarzadeh, A., Nazeri, V. & Tabrizi, L. (2021). Effect of salicylic acid application on quantitative and qualitative features of *Ziziphora clinopodioides* Lam. under water deficit stress condition. *Iranian Journal of Horticultural Science*, 51(4), 871–87. (In Persian). <https://doi.org/10.22059/ijhs.2019.274761.1593>
- Jafari, M., Shahsavar, A. R., Talebi, M. & Hesami, M. (2022). Exogenous melatonin protects lime plants from drought stress-induced damage by maintaining cell membrane structure, detoxifying ROS and regulating antioxidant systems. *Horticulturae*, 257(8), 1–20. <https://doi.org/10.3390/horticulturae8030257>
- Jamzad, Z. (2012). *Flora of Iran, Lamiaceae*. No. 76. Research institute of forests and rangelands. Ministry of Jihad-e-Keshavarzi.
- Jordan, M. J., Martinez, R. M., Cases, M. A. & Sotomayor, J. A. (2003) Watering level effect on *Thymus hyemalis* Lange essential oil yield and composition. *Journal of Agricultural and Food Chemistry*, 51(18), 5420–5427. <http://dx.doi.org/10.1021/jf034335m>
- Kazeminia, M., Gandomi, H., Koohi, M. K., Noori, N., Khanjari, A. & Ehterami, A. (2024). Optimization of *Ziziphora clinopodioides* L. essential oil nanoencapsulation in chitosan nanocomplex by response surface methodology. *International Journal of Biological Macromolecules*, 265(2). <https://doi.org/10.1016/j.ijbiomac.2024.131114>
- Khaleghnezhad, V., Yousefi, A. R., Tavakoli, A., Farajmand, B. & Mastinu, A. (2021). Concentrations-dependent effect of exogenous abscisic acid on photosynthesis, growth and phenolic content of *Dracocephalum moldavica* L. under drought stress. *Planta*, 253(6), 1–18. <https://doi.org/10.1007/s00425-021-03648-7>
- Khorshidi, J., Shokrpour, M. & Nazeri, V. (2016). Evaluation of response to water deficit stress in *Thymus daenensis* subsp. *daenensis* using stress tolerance indices. *Iranian Journal of Horticultural Science*, 46(4), 563–73. (In Persian).
- Khorshidi, J., Shokrpour, M. & Nazeri, V. (2018). Effect of water deficit stress on yield, essential oil and some of physiological traits in different ecotypes of *Thymus daenensis* subsp. *daenensis* in

- Karaj region. *Iranian Journal of Horticultural Science*, 49(3), 613-624. (In Persian). <https://doi.org/10.22059/ijhs.2018.206625.1008>
- Koocheki, A., Nasirmahalati, M. & Azizi, A. (2004). The effects of water stress and defoliation on some of quantitative traits of *Zataria multiflora*, *Ziziphora clinopodioides*, *Thymus vulgaris* and *Teucrium polium*. *Iranian Journal of Field Crops Research*, 2-1(3), 89-106. (In Persian). <http://dx.doi.org/10.1080/10496470802341201>
- Lichtenthaler, H. K. & Buschmann, C. (2001). Chlorophylls and carotenoids, measurement and characterization by UV-VIS spectroscopy. *Current Protocols in Food Analytical Chemistry*, 1, F4.3.1–F4.3.8.
- Mafakheri, S., Asghari, B. & Nikjuyan, M. (2018). Effect of nano zinc chelate on morphophysiological and phytochemical characteristics of *Dracocephalum kotschy* Biss. in drought stress condition. *Iranian Journal of Horticultural Science*, 49(3), 755–67. (In Persian). <https://doi.org/10.22059/ijhs.2017.231417.1230>
- Mansinhos, I., Gonçalves, S., Rodríguez-Solana, R., Duarte, H., Luis Ordóñez-Díaz, J., Manuel Moreno-Rojas, J. & Romano, A. (2022). Response of *Thymus lotoccephalus* in vitro cultures to drought stress and role of green extracts in cosmetics. *Antioxidants*, 11(1475), 1–25. <https://doi.org/10.3390/antiox11081475>
- Moghaddam, M., Alirezaei Noghondar, M., Selahvarzi, Y. & Goldani, M. (2015). The Effect of drought stress on some morphological and physicochemical characteristics of three cultivars of basil (*Ocimum Basilicum L.*). *Iranian Journal of Horticultural Science*, 46(3), 509–21. (In Persian). <https://doi.org/10.22059/ijhs.2015.55870>
- Musie Mulugeta, S. & Radács, P. (2022). Influence of drought stress on growth and essential oil yield of *Ocimum* species. *Horticulturae*, 8(175), 1–12. <http://dx.doi.org/10.3390/horticulturae8020175>
- Nasri, M., Karimi, Z., Meysam Oveysi, M., Kasraie, P. & Larjani, H. (2022). Impact of foliar application of salicylic acid and jasmonic acid on biochemical and agronomic properties of *Thymus vulgaris L.* under drought stress. *Journal of Crops Improvement*, 24 (4), 1359-1372. (In Persian). <http://doi.org/10.22059/jci.2022.329510.2605>
- Osmolovskaya, N., Shumilina, J., Kim, A., Didio, A., Grishina, T., Bilova, T., Keltsieva, O. A. & Zhukov, V. (2018). Methodology of drought stress research: experimental setup and physiological characterization. *International of Molecular Science*, 19(12), (4089), 1–25. <https://doi.org/10.3390/ijms19124089>
- Ostadi, A., Javanmard, A., Machiani, M. A. & Kakaei, K. (2023). Optimizing antioxidant activity and phytochemical properties of peppermint (*Mentha piperita L.*) by integrative application of biofertilizer and stress-modulating nanoparticles under drought stress conditions. *Plants*, 12(151), 1–26. <https://doi.org/10.3390/plants12010151>
- Rahimi, A., Gitari, H., Lyons, G., Heydarzadeh, S., Tunceturk, M. & Tunceturk, R. (2023). Effects of vermicompost, compost and animal manure on vegetative growth, physiological and antioxidant activity characteristics of *Thymus vulgaris L.* under water stress. *Yuzuncu Yil University Journal of Agricultural Sciences*, 33(1), 40–53. <http://dx.doi.org/10.29133/yyutbd.1124458>
- Rahimi, A., Mohammadi, M., Moghaddam, S., Heydarzadeh, S. & Gitari, H., (2022). Effects of stress modifier biostimulants on vegetative growth, nutrients, and antioxidants contents of garden Thyme (*Thymus Vulgaris L.*) under water deficit conditions. *Journal of plant growth regulation*, 41(5), 2059-2072. <http://dx.doi.org/10.1007/s00344-022-10604-6>
- Saeedinia, M., Hamzeh Hosseiniyan, S. & Beiranvand, F. (2019). The effect of water stress on evapotranspiration and morphological characteristics of *Satureja hortensis*. *Iranian Journal of Soil and Water Research*, 50(8), 2063–2072. (In Persian). <https://doi.org/10.22059/ijswr.2019.276349.668131>
- Sairam, R. K., Chandrasekhar, V. & Srivastava, G. C. (2001). Comparison of hexaploid and tetraploid wheat cultivars in their responses to water stress. *Biologia Plantarum*, 44(1), 89–94. <http://dx.doi.org/10.1023/A:1017926522514>
- Sajjadi, E., Ghasemi Dehkordi, N. & Balochi, M. 2003. Study of the essential constituent of aerial

- parts in *Ziziphora Clinopodioides* Lam. *Journal of Pajouhesh & Sazandegi*, 16(1), 97–100. (In persian).
- Seleiman, M. F., Al Suhaibani, N., Ali, N., Akmal, M., Alotaibi, M., Refay, Y., Dindaroglu, T., Abdul-Wajid, H. & Battaglia, M. L. (2021). Drought stress impacts on plant s and different approaches to alleviate its adverse effects. *Plants*, 10(2), 259. <https://doi.org/10.3390/plants10020259>
- Sharafi, G., Changizi, M., Rafiee, M., Gomarian, M. & Khagani, S. (2019). Investigating the effect of drought stress and vermicompost biofertilizer on morphological and biochemical characteristics of *Thymus vulgaris* L. *Archives of Pharmacy Practice*, 10(3), 137–45.
- Shafiei, N., Khaleghi, E. & Moallemi, N. (2019). Effect of salicylic acid on some morphological and biochemical characteristics of olive (*Olea europaea* cv. ‘Konservalia’) under water stress. *Plant Productions*, 42(1), 15–30. (In Persian). <https://doi.org/10.22055/ppd.2019.22031.1477>
- Singleton, V. L. & Rossi, J. A. (1965). Colorimetry of total phenolics with phosphomolybdic-phosphotungstic acid reagents. *American Journal of Enology and Viticulture*, 16(3), 144–58. doi:10.5344/ajev.1965.16.3.144
- Sodaiizadeh, H., Shamsaie, M., Tajamoliyan, M., Mirmohammady Maibody, S. A. M. & Hakimzadeh, M. A. (2017). Evaluation of some physiological characteristics of *Thymus fedtschenko* under different levels of water stress. *Environmental Stresses in Crop Sciences*, 9(4), 423–427. (In Persian). <https://doi.org/10.22077/escs.2017.470>
- Sotomayor, J. A., Martinez, R. M., Garcia, A. J. & Jordan, M. J. (2004). *Thymus zygis* subsp. *gracilis*: watering level effect on phytomass production and essential oil quality. *Journal of Agricultural and Food Chemistry*, 52(17), 5418–5424. <http://dx.doi.org/10.1021/jf0496245>
- Tian, S., Shi, Y., Zhou, X., Ge, L. & Upur, H. (2011). Total polyphenolic (flavonoids) content and antioxidant capacity of different *Ziziphora Clinopodioides* Lam. extracts. *Environmental and Experimental Botany*, 7(25), 65–68. <https://doi.org/10.4103/0973-1296.75904>
- Turner, N. C. (1981). Techniques and experimental approaches for the measurement of plant water status. *Plant and Soil*, 58(1–3), 339–366. <http://dx.doi.org/10.1007/BF02180062>
- Yin, G., He, W., Liu, W., Liu, X., Xia, Y. & Zh, H. (2024). Drought stress and its characteristics in China from 2001 to 2020 considering vegetation response and drought creep effect. *Journal of Hydrology*, 53, 101763. <http://dx.doi.org/10.1016/j.ejrh.2024.101763>
- Zakerian, F., Sefidkon, F., Abbaszadeh, B. & Kalate-Jari, S. (2020). Effect of drought stress and mycorrhizal fungi on physiological traits and essential oil percentage of *Satureja sahandica* Bornm. *Iranian Journal of Horticultural Science*. 51(1), 189–201. (In Persian). <https://doi.org/10.22059/ijhs.2018.267489.1521>